

МІНІСТЕРСТВО ОСВІТИ І НАУКИ УКРАЇНИ

ДОНЕЦЬКИЙ НАЦІОНАЛЬНИЙ ТЕХНІЧНИЙ УНІВЕРСИТЕТ

Навчально-методичний посібник  
по розрахунку транзисторних підсилювальних каскадів  
у курсових та дипломних проектах  
для студентів спеціальності 7.091401  
«Системи управління та автоматика»

Розглянуто на засіданні кафедри АТ  
Протокол № 11 від 23.11.2009

Затверджено учбово-викладацькою  
Радою ДонНТУ  
Протокол № \_ від \_\_\_\_\_

Донецьк - 2009

УДК 621.375

Навчально-методичний посібник по розрахунку транзисторних підсилювальних каскадів у курсових та дипломних проектах для студентів спеціальності 7.091401 «Системи управління та автоматика»/Константинов С.В., Найдьонова Т.В. – Донецьк, ДонНТУ, 2009 р. – 83 с.

Викладені правила спрощеного розрахунку каскадів із СЕ, СБ, СК, і ФІК по постійному струму. Надані рекомендації по розрахунку конденсаторів. Приведені приклади розрахунку каскадів.

Довідкові матеріали, приведені в додатках, дозволяють окрім підсилювальних каскадів розраховувати випрямлячі і фільтри.

Посібник призначений студентам електротехнічних спеціальностей, яким доводиться розраховувати транзисторні підсилювачі.

Автори: Константинов С.В., Найдьонова Т.В.

Рецензент: доцент кафедри ЕТ Кузнецов Д.М.

Відповідальний за випуск: Бессараб В.І.

## Зміст

Вступ	5
1. Загальні правила розробки транзисторних підсилювальних каскадів .	6
2. Розрахунок каскаду з СЕ (СБ) по постійному струму	8
3. Розрахунок каскаду з СК по постійному струму	10
3.1 Порядок розрахунку каскаду із СК	13
4. Розрахунок фазоінверсного каскаду постійному струму	15
5. Визначення ємності розділових і корегуючих конденсаторів	16
5.1 Порядок розрахунку	17
6. Приклади розрахунку транзисторних каскадів	20
6.1 Каскад із СЕ	20
6.2 Каскад із СБ	24
6.3 Каскад із СК	28
6.4 Фазоінверсний каскад	31
Висновок	35
Література	36
Довідкові матеріали	
Додаток А – Транзистори	37
Додаток Б – Резистори	59
Додаток В – Конденсатори	66
Додаток Г – Діоди	72
Додаток Д – УГО	80
Додаток Е – Стандартні значення напруги у джерелах живлення	82

## ВСТУП

Виконання студентами розрахункових робіт формує практичні навички проектування систем автоматичного управління і автоматики.

У посібнику викладені загальні правила розробки транзисторних підсилювальних каскадів, а також правила спрощеного розрахунку каскадів із СЕ, СБ, СК, і ФІК по постійному струму, надані рекомендації по розрахунку конденсаторів. Приведені приклади розрахунку перелічених каскадів. Даний посібник повинний допомогти студентам правильно виконати розрахунок транзисторних підсилювальних каскадів у курсових та дипломних проектах.

Правила розробки транзисторних каскадів, наведені у посібнику, дозволяють отримати максимально можливий коефіцієнт корисної дії. Це означає, що розраховані пристрої будуть вживати мінімальну кількість енергії, що дозволяє мінімізувати їх об'єм.

Посібник призначений студентам спеціальності «Системи управління і автоматика», але може бути корисним і студентам інших електротехнічних спеціальностей.

# 1. ЗАГАЛЬНІ ПРАВИЛА РОЗРОБКИ ТРАНЗИСТОРНИХ ПІДСИЛЮВАЛЬНИХ КАСКАДІВ

При розробці транзисторного каскаду необхідно:

- 1) вибрати схему;
- 2) визначити (розрахувати) номінали резисторів ( $R_k$  і  $R_e$  у схемах з СЕ і СБ,  $R_e$  у схемі з СК) і вибрати із заданого ряду;
- 3) визначити (вибрати)  $U_{жив}$
- 4) визначити вимоги до транзистора ( $p, U_k, h_{21}$ ) і вибрати транзистор;
- 5) визначити опори резисторів вхідного дільника ;
- 6) визначити ємність конденсаторів.

При завданні вимог до підсилювального каскаду, як правило, вводяться якісь обмеження. Найчастіше задається напруга живлення. В цьому випадку схема виходить не оптимальною.

Тут розглядається варіант розрахунку, при якому немає обмежень, і потрібно отримати оптимальне рішення, тобто побудувати каскад, коли задані тільки вхідні і вихідні параметри. В цьому випадку треба визначити (задати) критерій оптимальності. Оскільки у таких каскадів дуже низький ККД, можна вважати оптимальною схемою з максимальним ККД.

Залежність ККД від відношення  $R_k / R_H$  при максимальній вихідній напрузі і без урахування втрат у допоміжних ланцюгах приведена на рис. 1.1. Максимальний ККД виходить при  $R_k = \sqrt{2} \cdot R_H$ , але оскільки максимум пологий, можна вибрати

$$R_k = (1...2)R_H$$

При цьому меншому  $R_k$  відповідає менша напруга живлення (див. рис. 1.2), а більшому – більше посилення струму і напруги (рис. 1.3.).

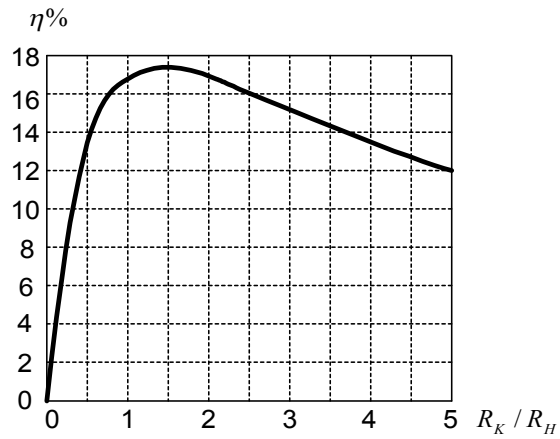


Рисунок 1.1 – Залежність ККД від відношення колекторного опору до опору навантаження без урахування втрат у вхідному ланцюгу.

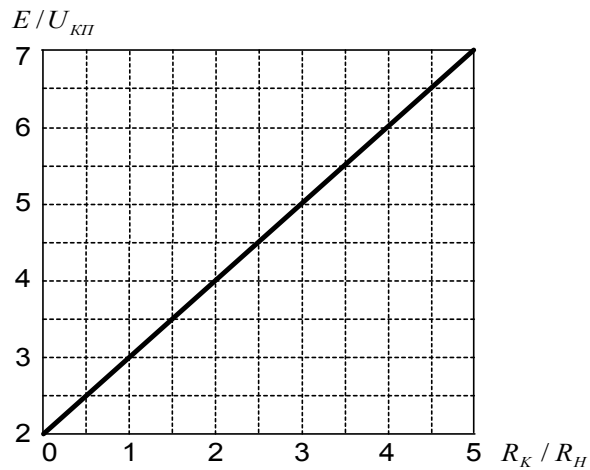


Рисунок 1.2 – Залежність напруги живлення від відношення колекторного опору до опору навантаження.

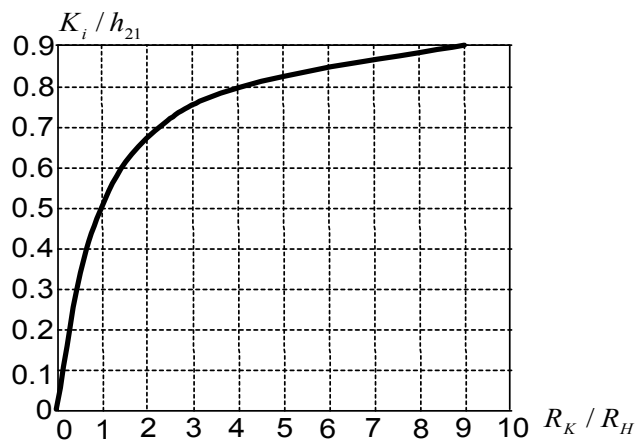


Рисунок 1.3 - Залежність посилення току від колекторного опору (без урахування втрат у вхідному ланцюгу).

## 2. РОЗРАХУНОК КАСКАДІВ З СЕ (СБ) ПО ПОСТІЙНОМУ СТРУМУ

Задано:  $U_{вих.мах}$  (максимальна діюча напруга),  
 $U_{сигналу\ max}$ ,  $R_H$ ,  $f_B$ ,  $f_H$ ,  $M$ ,  $R_{дж.сигналу}$ , ряд резисторів (якщо  $R_{дж.сигн.} \ll R_{вх}$ , воно не задається).

Обираємо схему:

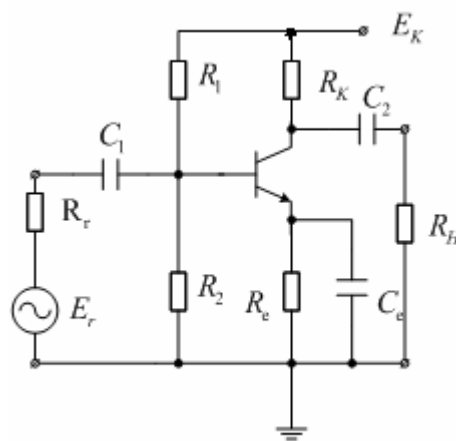


Рисунок 2.1 – Схема каскаду з СЕ.

1. Знаходимо  $R_k = (1...2) \cdot R_H$ , і вибираємо з ряду.
2. Визначаємо падіння напруги на  $R_k$  в стані спокою

$$U_{R_{ксп}} = \frac{1.4U_{вих.мах}}{R_H} \cdot (R_K + R_H) + (1...2)V$$

3. Визначаємо  $U_{есп} = 1.4U_{вих.мах} + (1...2)V$
4. Вибираємо  $U_{есп} = (1...2)V$
5. Визначаємо  $E_{жив.} \geq U_{есп} + U_{кесп} + U_{R_{ксп}}$  і вибираємо згідно з додатком Е.
6. Визначаємо  $K_U$ , при  $R_{іст.сигн} \ll R_{вх}$

$$K_U = \frac{U_{вих.мах}}{U_{сигн.мах}}$$

7. Вибираємо транзистор  $U_{ек} > E_{жив.}$ ,  $i_k > \frac{E_{жив.}}{R_k}$ ,  $P_{дон} > \frac{E_{жив.}^2}{4R_k}$ ,  $f > f_B$ ,

$$h_{21} > \frac{K_U}{R_H \parallel R_k},$$

де  $R_H$  та  $R_k$  - опори навантаження та колекторний опір у кОмах.

8. Знаходимо  $i_{kcn} = \frac{U_{Rkcn}}{R_k}$

9. Знаходимо  $i_{бсн} = \frac{i_{kcn}}{h_{21\min}}$

10. Вибираємо  $i_D = (3...7)i_{бсн}$

11. Знаходимо  $R_e = \frac{U_{есн}}{i_{kcn} + i_{бсн}}$

12. Вибираємо, із заданого ряду, уточнюємо

$$U_{есн} = (i_{kcn} + i_{бсн}) \cdot R_{евибр.}$$

13. Знаходимо по вхідній характеристиці транзистора  $U_{бсн}$

14. Визначаємо  $U_{бсн} = U_{есн} + U_{бесн}$

15. Визначаємо  $R_1 = \frac{E_{жив} - U_{бсн}}{i_D}$  і вибираємо  $R_1$  з ряду

16. Визначаємо  $R_2 = \frac{U_{бсн}}{i_D - i_{бсн}}$  і вибираємо  $R_2$  з ряду

17. Перевіряємо  $U_{бсн}$  при  $h_{21\min}$  і  $h_{21\max}$

18. Перевіряємо  $K_U = h_{21\min} \cdot \frac{R_k || R_H}{r_{ex}} > \frac{U_{вих.\max}}{U_{вх.\max}}$

де  $U_{вх.\max} = \frac{U_{сигн.\max} \cdot R_{ex}}{R_{дж.сигн.} + R_{ex}}$

Розрахунок схеми з СБ по постійному струму виконується так само, як і схеми з СЕ.

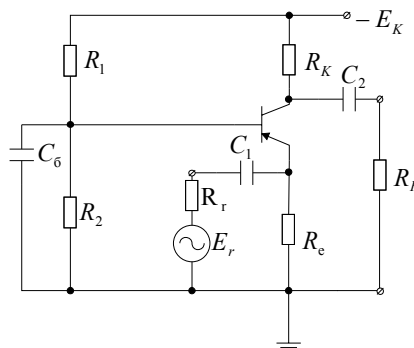


Рисунок 2.2 – Схема каскаду з СБ

Параметри конденсаторів визначаються по  $f_H$  і  $M$  (див. розділ 5).



### 3. РОЗРАХУНОК КАСКАДУ З СК ПО ПОСТІЙНОМУ СТРУМУ

Схема підсилювального каскаду з СК (емітерного повторювача), приклад якої показаний на рис. 3.1, має коефіцієнт підсилення напруги ( $K_U$ ) близький до одиниці й порівняно великий коефіцієнт підсилення струму ( $K_i$ ).

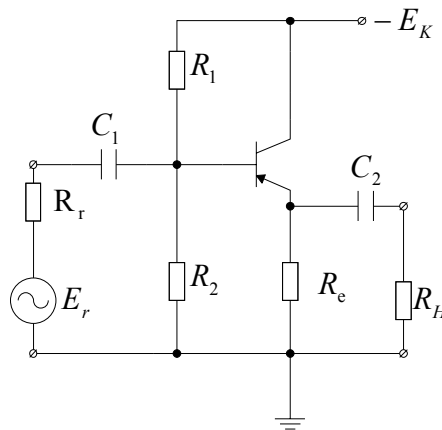


Рисунок 3.1 – Схема каскаду з СК.

Розглядаючи схему з СК як підсилювач струму, можна виділити три елементи:

- 1) вхідний ланцюг;
- 2) транзистор;
- 3) вихідний ланцюг.

Вхідний ланцюг складається з конденсатора  $C_1$ , діляника напруги  $R_1$  й  $R_2$  і ланцюга бази транзистора. Опір конденсатора  $C_1$  в смузі пропущення малий, тому його впливом зневажаємо. Коефіцієнт передачі струму вхідного ланцюга залежить від опору діляника  $R_1$ ,  $R_2$  і вхідного опору транзистора

$$K_{iex} = \frac{i_b}{i_{ex}} = \frac{R_{ex.cx.}}{R_{ex.mp.}}$$

Вхідний опір транзистора

$$R_{ex.mp.} = h_{21} \cdot (R_e \parallel R_H),$$

а вхідний опір схеми

$$R_{ex.cx.} = R_1 \parallel R_2 \parallel R_{ex.mp.}$$

Залежність коефіцієнта передачі струму вхідного ланцюга від відношення  $\frac{R_e}{R_H}$  при різних значеннях струму діляника наведені на рис. 3.2.

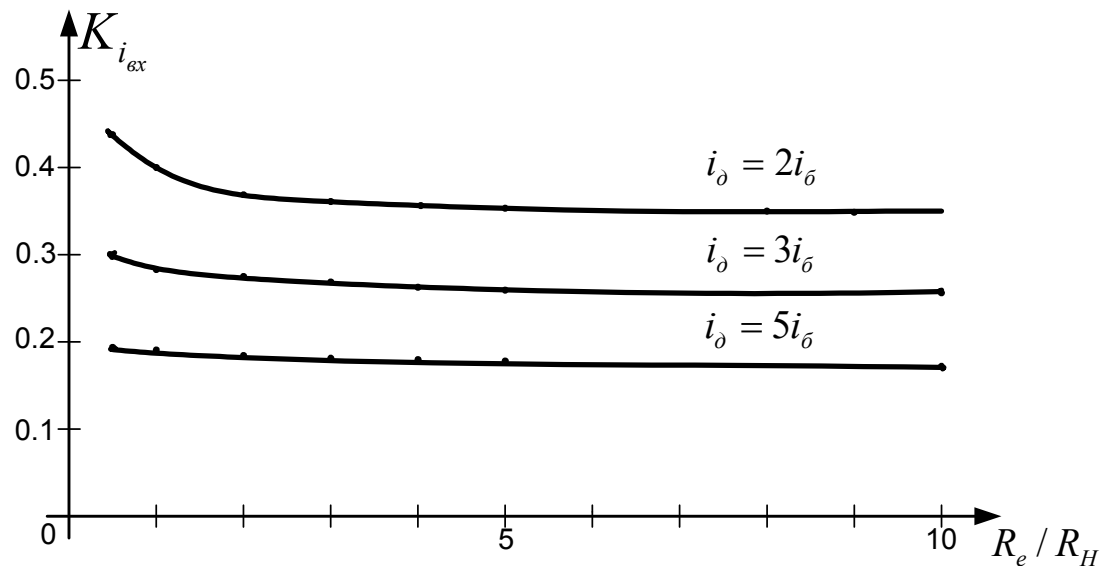


Рисунок 3.2 - Коефіцієнт передачі струму вхідного ланцюга.

Із графіків видно, що максимальний коефіцієнт передачі струму буде при мінімальному струмі діляника й мінімальному відношенні  $\frac{R_e}{R_H}$ . Величина його наближається до 0,5.

Менш, ніж  $2i_0$ , струм діляника приймати не слід через різке збільшення температурної залежності схеми, а більше, ніж  $5i_0$ , не треба через зменшення коефіцієнта передачі струму і збільшення напруги живлення.

Транзистор збільшує струм у  $h_{21e}$  рази.

Коефіцієнт передачі струму у вихідному ланцюзі залежить тільки від відношення  $\frac{R_e}{R_H}$  (опором конденсатора теж  $C_2$  зневажаємо). Графік залежності коефіцієнта передачі струму від співвідношення опорів наведений на рис. 3.3.

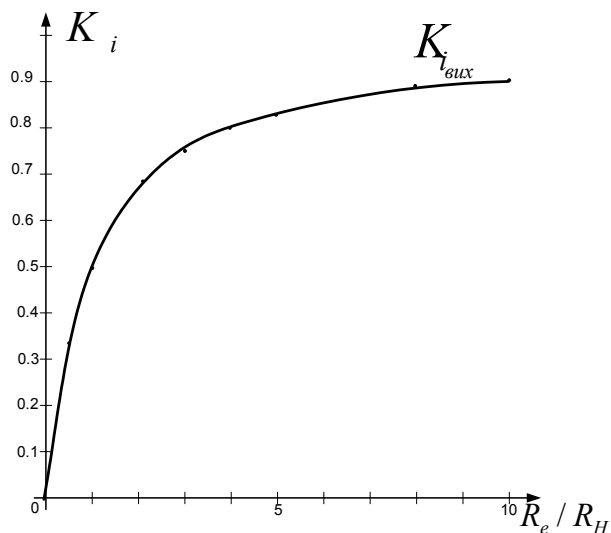


Рисунок 3.3 - Коефіцієнт передачі струму у вихідному ланцюзі.

Із графіка видно, що коефіцієнт передачі струму у вихідному ланцюзі ( $K_{i_{вих.}}$ ) може наближатися до одиниці, але при цьому  $E_{жив}$  стає занадто великим (див. рис. 1.2), тому, як правило, беруть такі значення відношення  $\frac{R_e}{R_H}$ , при яких  $K_{i_{вих.}}$  перебуває в межах 0,5...0,8

Значення загального коефіцієнта передачі струму в схемі з СК відносно  $h_{21}$  наведено на рис. 3.4.

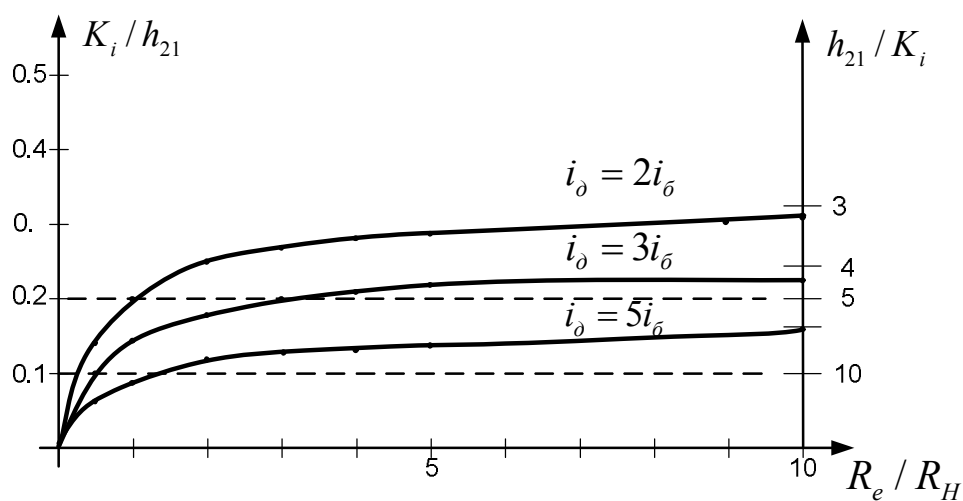


Рисунок 3.4 - Відносний коефіцієнт передачі струму схеми з СК.

Із графіків видно, що доцільно вибрати  $i_d = (2...3)i_b$ , а  $R_e = (1...3)R_H$ .

### 3.1 Порядок розрахунку

Задано:  $U_{вих.маx}$ , (максимальна діюча вихідна напруга),  $R_H, f_B, f_H, M, K_i$  ряд резисторів.

1. Обираємо схему:

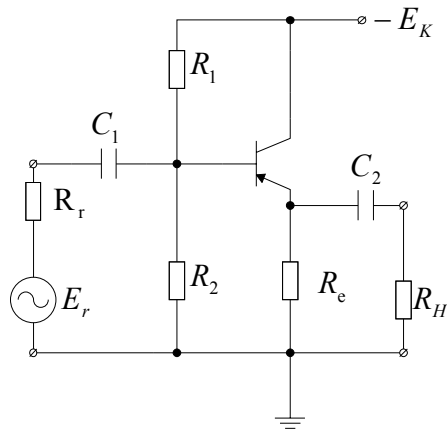


Рисунок 3.5 – Схема каскаду з СК.

2. Знаходимо  $R_e = (1...5) \cdot R_H$ .

3. Знаходимо  $U_{есп} = \frac{1.4U_{вих.маx}}{R_H} \cdot (R_H + R_e) + (1...2)B$ ;

4. Визначаємо  $U_{кесп} = 1.4U_{вих.маx} + (1...2)B$ ;

5. Знаходимо  $E_{жив} \geq U_{есп} + U_{кесп}$  (вибирається із додатка Е);

6. Визначаємо  $i_{e.маx} = \frac{E}{R_e} + i_{н.маx}$ ;

7. Знаходимо  $P_{маx} = \frac{E^2}{4R_e}$ ;

8. Вибраємо транзистор за наступними параметрами,  $U_{к.дон} > E_{жив}$ ,

$i_{к.дон} > i_{e.маx}$ ,  $P_{дон} > P_{маx}$ ,  $f > f_в$ ,  $h_{21} = (3...10)K_i$  коефіцієнт в дужках визначається по графіку (рис. 3.4).

9. Визначаємо  $i_{\sigma} = \frac{i_{ecn}}{h_{21\min}}$ ; ( $i_{ecn} = \frac{U_{ecn}}{R_e}$ );

10. Визначаємо  $i_{\sigma} = (2...5)i_{\sigma}$ ; зазвичай  $i_{\sigma} = 3i_{\sigma}$ .

11. Визначаємо  $R_1 = \frac{U_{кесп} - 0.6B}{i_{\sigma}}$ ;

12. Знаходимо  $R_2 = \frac{U_{ecn} + 0.6B}{i_{\sigma} - i_{\sigma}}$ ;

13. Конденсатори визначаємо по  $f_H$  і  $M$  (див. розділ 5).

## 4. РОЗРАХУНОК ФАЗОІНВЕРСНОГО КАСАДУ ПО ПОСТІЙНОМУ СТРУМУ

Задано:  $R_{H1}, R_{H2}, u_{вих.max}$  (максимальна діюча вихідна напруга),  $f_B, f_H, M$ .

Майже завжди  $R_{H1} = R_{H2}$ . Схему обираємо

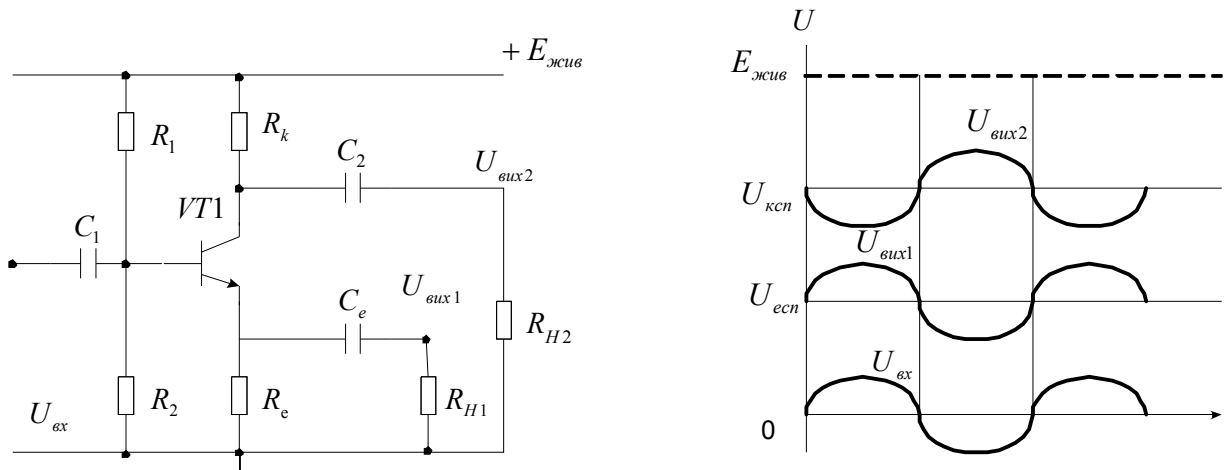


Рисунок 4.1 – а) схема фазоінверсного каскаду; б) часова діаграма.

1. Оскільки  $R_{H1} = R_{H2}$ ,  $R_k = R_e = (1...2)R_H$  (вибираються із ряду)
2. Визначаємо падіння напруги на  $R_k, R_e$ 

$$U_{R_{есп}} = U_{R_{ксп}} = \frac{1.4U_{вих.max}}{R_H} \cdot (R_H + R_k) + (1...2)V.$$
3. Визначаємо  $U_{ксп} = 2.8U_{вих.max} + (2...3)V$ .
4. Визначаємо  $E_{жив} \geq U_{R_{ксп}} + U_{R_{есп}} + U_{ксп}$  (обирається з додатку Е).
5. Вибираємо транзистор  $U_{ек} > E_{сп}$ ,  $i_k > \frac{E_{жив}}{2R_k}$ ,  $P > \frac{E_{жив}^2}{8R_k}$  (при оцінці  $i_k$  та  $P$  не враховується струм навантаження, тому по цим параметрам треба мати запас).
6. Знаходимо  $i_{ксп} = \frac{U_{R_{ксп}}}{R_k}$
7. Знаходимо  $i_{бсп} = \frac{i_{ксп}}{h_{21min}}$ .
8. Вибираємо  $i_{\delta} = (2...5)i_{бсп}$

9. Знаходимо по вхідній характеристиці транзистора  $U_{\text{бесн}}$ .

10. Знаходимо  $U_{\text{бсн}} = U_{\text{бесн}} + U_{\text{есн}}$ , ( $U_{\text{есн}} = U_{R_{\text{есн}}}$ ).

11. Знаходимо  $R_2 = \frac{U_{\text{бсн}}}{i_{\text{д}} - i_{\text{бсн}}}$  і вибираємо із ряду.

12. Знаходимо  $R_1 = \frac{E - U_{\text{бсн}}}{i_{\text{д}}}$  і вибираємо з ряду так, щоб відхилення від розрахункового значення було приблизно таке ж, як у  $R_2$ .

13. Перевіряємо  $U_{\text{бсн}}$ , вирішуючи рівняння:  $\frac{E - U_{\text{бсн}}}{R_1} = \frac{U_{\text{бсн}}}{R_2} + i_{\text{бсн}}$

## 5. ВИЗНАЧЕННЯ ЄМНОСТІ РОЗДІЛОВИХ І КОРЕГУЮЧИХ КОНДЕНСАТОРІВ

Ємність розділового конденсатора визначається по опорі навантаження, на який працює конденсатор, із рівняння

$$\frac{X_C}{R_H} = \sqrt{M_i^2 - 1},$$

де  $X_C = \frac{1}{\omega_H C}$  - реактивний опір конденсатора

$\omega_H$  - нижня частота сигналу

$C$  - ємність розділового конденсатора

$M_i$  - допустима величина частотних спотворень даного ланцюга.

Зручно для визначення величин  $\frac{X_C}{R_H}$  користуватися графіком, представленим на рисунку 5.1.

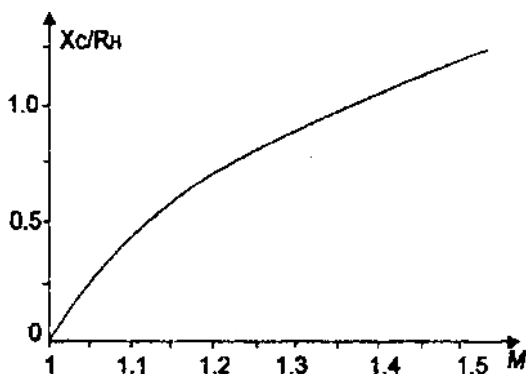


Рисунок 5.1 – Залежність  $X_{np}$  від  $M_i$ .

Визначивши (або задавши) величину  $M$ , відкладаємо її по осі абсцис, і по осі ординат знаходимо приблизне значення реактивного опору ланцюгу

$$\frac{X_C}{R_H} = X_{np} \cdot (при M = 1,1, X_{np} = 0,46) \text{ для } R_H = 0,3h, x_C = 0,46 \cdot 0,3 = 0,138$$

По графіку, наданому на рисунку 5.2, можна визначити приведену величину ємності, мкФ (при  $R_H = 1$  кОм) по  $f_H$ , Гц.



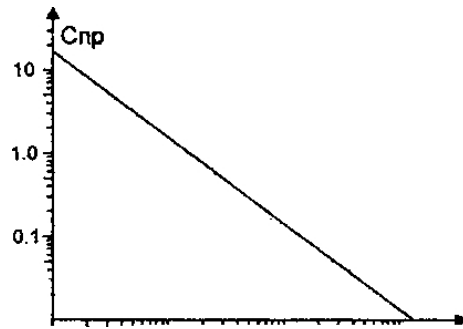


Рисунок 5.2 – Залежність наданого значення ємності від частоти

Для  $f_H = 300$  Гц,  $C_{np} = 0,53$ .

Величину даної ємності знаходимо з рівняння

$$C = \frac{C_{np}}{x_c} = \frac{0,53}{0,138} = 3,84 \text{ мкФ.}$$

Із заданого ряду вибираємо найближче більше значення ємності.

### 5.1 Порядок розрахунку

Задані: коефіцієнт частотних спотворень схеми -  $M$  (зазвичай  $M = 1.1 \dots 1.4$ )  $f_H, f_B$ .

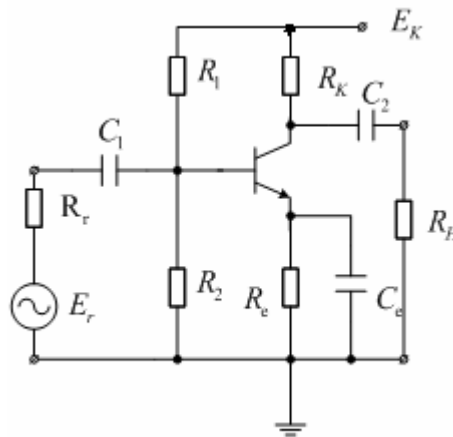


Рисунок 5.3 – Схема каскаду с СЕ

Схема відома (рис. 5.3), вибраний транзистор (з урахуванням  $f_B$ ), визначені  $R_1, R_2, R_k$  і  $R_e$  ( $R_H$  - задано). Необхідно визначити мінімальні значення  $C_1, C_2$  і  $C_e$ .

Для визначення  $C$  треба знати опори елементів, на які навантажені конденсатори.

1. Визначаємо  $M_i$ . У приведеній схемі спотворень вносять всі конденсатори, тому, вважаючи ці спотворень рівними, знаходимо  $M_i = \sqrt[3]{M}$ .

2. Конденсатор  $C_1$  включений між джерелом сигналу і вхідним опором схеми. Нехтуючи опором джерелом сигналу, оскільки воно значно менше вхідного опору схеми, знаходимо  $R_{ex} = R_1 \parallel R_2 \parallel r_{ex}$

де  $r_{ex}$  - опір переходу база-емітер (опір ланцюгу  $R_e C_e$  не враховуємо)

$R_1, R_2$  - відомі

$r_{ex} = h_{11e}$  - знаходимо в довіднику.

3. Конденсатор  $C_2$  включений між виходом схеми і навантаженням. Для розрахунку беремо  $R_H$  (вихідним опором схеми, зневажаємо).

4. Конденсатор  $C_e$  працює на опір  $r_e \parallel R_e$ . Якщо  $R_e > r_e$ , то для розрахунку беремо тільки

$$r_e = \frac{h_{11e}}{h_{21e}}$$

5. По графіку (рис. 5.1), знаючи  $M_i$  знаходимо значення  $x_c / R$ , і визначаємо

$$x_{c1} = \left(\frac{x_c}{R}\right)r_{ex}, \quad x_{ce} = \left(\frac{x_c}{R}\right)r_e, \quad x_{c2} = \left(\frac{x_c}{R}\right)R_H$$

- всі опори ( $r_{ex}, r_e, R_H$ ) – в кілоомах.

6. По графіку (рис. 5.2) знаходимо  $C_{np}$  (для навантаження  $R_H = 1\text{кОм}$ ) і визначаємо

$$C_1 = \frac{C_{np}}{X_{c1}}, \quad C_e = \frac{C_{np}}{X_{ce}}, \quad C_2 = \frac{C_{np}}{X_{c2}};$$

Конденсатори вибираємо з довідника (найближче більше).

## 6. ПРИКЛАДИ РОЗРАХУНКУ ТРАНЗИСТОРНИХ КАСКАДІВ

### 6.1 Каскад із СЕ

Задано:  $U_{вих.макс} = 3В$  (максимальна діюча напруга),  $U_{сигналу\max} = 0,2В$ ,  
 $R_H = 4кОм$ ,  $f_B = 20кГц$ ,  $f_H = 300Гц$ ,  $M = 1,10$ ,  $R_{дж.сигналу} = 50Ом$ . Ряд резисторів Е24.

1. Вибираємо схему каскаду з СЕ:

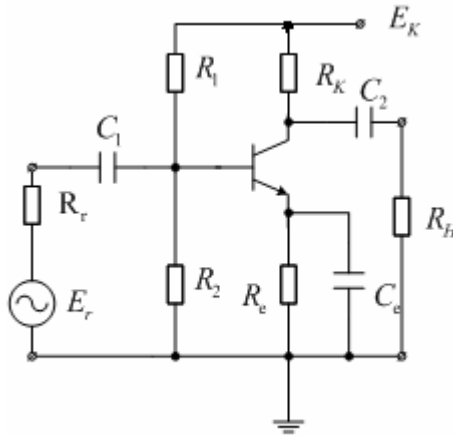


Рисунок 6.1 – Схема каскаду з СЕ.

2. Знаходимо  $R_k = (1...2) \cdot R_H$ .

Приймаємо  $R_k = 2 \cdot 4 = 8кОм$ .

Вибираємо з ряду  $R_k = 7,5кОм$

3. Визначаємо падіння напруги на  $R_k$  в стані спокою

$$U_{R_{ксп}} = \frac{1,4U_{вих.макс}}{R_H} \cdot (R_k + R_H) + (1...2)V$$

$$U_{R_{ксп}} = \frac{3В \cdot 1,4}{4кОм} \cdot (7,5кОм + 4кОм) + 1В = 13,1В$$

4. Визначаємо  $U_{ксп} = 1,4U_{вих.макс} + 1В = 1,4 \cdot 3В + 1В = 5,2В$ .

5. Вибираємо  $U_{есп} = (1...2)В = 2В$ .

6. Визначаємо

$$E_{жив.} = U_{есп} + U_{ксп} + U_{R_{ксп}} = 2В + 5,2В + 13,1В = 20,3В$$

Приймаємо  $E_{жив.} = 20В$ .

7. Визначаємо  $K_U$ , при  $R_{i_{ст.сигн}} \ll R_{ex}$

$$K_U = \frac{U_{вих. \max}}{U_{сигн. \max}} = \frac{3B}{0,2B} = 15$$

8. Знаходимо  $i_{kcn} = \frac{U_{Rkcn}}{R_k} = \frac{13,1B}{7,5кОм} = 1,75мА$

9. Вибираємо транзистор  $U_{ек} > E_{жив.}$ ,  $i_k > i_{kcn}$ ,  $P_{дон} > \frac{E_{жив}^2}{4R_k}$ ,  $f > f_B$ ,  $h_{21} > \frac{K_U}{R_k || R_H}$ ,

$$U_{ек} > 21B, i_k > 1,75мА, P_{дон} > 13,4мВт, f \gg 20кГц, h_{21} > 5,77$$

Підходить КТ315И:

$$U_{ек} = 60B; i_{k \max} = 50мА; P_{дон} = 100мВт, f = 100МГц, h_{21e} > 30.$$

10. Знаходимо  $i_{бсн} = \frac{i_{kcn}}{h_{21 \min}} = \frac{1,75мА}{30} \approx 0,06мА$ .

11. Вибираємо  $i_D = (3...7)i_{бсн} = 5 \cdot 0,06мА = 0,3мА$ .

12. Знаходимо  $R_e = \frac{U_{ecn}}{i_{kcn} + i_{бсн}} = \frac{2B}{1,75мА + 0,06мА} = 1,1кОм$ .

13. Вибираємо  $R_e = 1кОм$ , уточнюємо

$$U_{ecn} = (i_{kcn} + i_{бсн}) \cdot R_{евибр} = (1,75мА + 0,06мА) \cdot 1,1кОм \approx 2B.$$

14. Знаходимо по вхідній характеристиці транзистора  $U_{бесн} = 0,6B$ .

15. Визначаємо  $U_{бсн} = U_{ecn} + U_{бесн} = 2B + 0,6B = 2,6B$

16. Визначаємо  $R_1 = \frac{E_{жив} - U_{бсн}}{i_D} = \frac{20B - 2,6B}{0,3} \approx 58кОм$  і вибираємо  $R_1$  з ряду:

$$R_1 = 56кОм.$$

17. Визначаємо  $R_2 = \frac{U_{бсн}}{i_D - i_{бсн}} = \frac{2,6B}{0,3мА - 0,06мА} \approx 10,8кОм$  і вибираємо  $R_2$  з ряду

$$R_2 = 10кОм.$$

18. Перевіряємо  $U_{бсн}$  при  $h_{21 \min}$  і  $h_{21 \max}$ :

$$\text{Для } h_{21 \min} \quad i_{бсн}(h_{21 \min}) = \frac{i_{kcn}}{h_{21 \min}} = \frac{1,75мА}{30} \approx 0,058мА,$$

$$U_{бсн} = (i_D - i_{бсн}) \cdot R_2 = (0,3мА - 0,058мА) \cdot 10кОм = 2,42B.$$

$$\text{Для } h_{21 \max} \quad i_{бсн}(h_{21 \max}) = \frac{i_{kcn}}{h_{21 \max}} = \frac{1,75мА}{60} \approx 0,029мА,$$

$$U_{\text{бсн}} = (i_{\delta} - i_{\bar{\delta}}) \cdot R_2 = (0,3\text{мА} - 0,029\text{мА}) \cdot 10\text{кОм} = 2,71\text{В}, \text{ при цьому}$$

$$19. \text{ Перевіряємо } K_U = h_{21\text{min}} \cdot \frac{R_k \parallel R_H}{r_{\text{ex}}} > \frac{U_{\text{вих. max}}}{U_{\text{вх. max}}}$$

$$\text{де } U_{\text{вх. max}} = \frac{U_{\text{сигн. max}} \cdot R_{\text{ex}}}{R_{\text{дж. сигн.}} + R_{\text{ex}}}$$

$$R_{\text{ex}} = R_1 \parallel R_2 \parallel h_{11}$$

$$R_1 \parallel R_2 = \frac{R_1 \cdot R_2}{R_1 + R_2} = \frac{56\text{кОм} \cdot 10\text{кОм}}{56\text{кОм} + 10\text{кОм}} = \frac{560\text{кОм}}{66\text{кОм}} = 8,5\text{кОм}$$

$$R_{\text{ex}} = R_1 \parallel R_2 \parallel h_{11} = \frac{R_1 \parallel R_2 \cdot h_{11}}{R_1 \parallel R_2 + h_{11}} = \frac{8,5\text{кОм} \cdot 0,4\text{кОм}}{8,5\text{кОм} + 0,4\text{кОм}} = \frac{3,4\text{кОм}}{8,9\text{кОм}} = 0,38\text{кОм}$$

$$U_{\text{вх. max}} = \frac{U_{\text{сигн. max}} \cdot R_{\text{ex}}}{R_{\text{дж. сигн.}} + R_{\text{ex}}} = \frac{0,2\text{В} \cdot 0,39\text{кОм}}{0,05\text{кОм} + 0,39\text{кОм}} = 0,18\text{В}$$

$$K_U = h_{21\text{min}} \cdot \frac{R_k \parallel R_H}{r_{\text{ex}}} = 30 \cdot \frac{7,54}{0,4} = \frac{30 \cdot 2,61}{0,4} = 196$$

$$\frac{U_{\text{вих. max}}}{U_{\text{вх. max}}} = \frac{3\text{В}}{0,18\text{В}} = 16,7$$

$$K_U = h_{21\text{min}} \cdot \frac{R_k \parallel R_H}{r_{\text{ex}}} > \frac{U_{\text{вих. max}}}{U_{\text{вх. max}}}$$

Розрахунок виконаний вірно, тому що  $196 > 16,7$  (див. п. 19)\*.

**\*Примітка.**

Якщо треба одержати підсилення у задане число разів, то резистор  $R_e$  треба зробити з двох частин  $R_{e1}$  та  $R_{e2}$ .  $R_{e2}$  зашунтувати конденсатором  $C_e$ .

$$\text{При цьому } K_U = \frac{R_k \parallel R_H}{R_{e1}}.$$

$$\text{Звідси } R_{e1} = \frac{R_k \parallel R_H}{K_U} = \frac{2,61}{15} = 0,17 \text{ кОм.}$$

$$\text{Приймаємо } R_{e1} = 0,16 \text{ кОм,}$$

$$R_{e2} = R_e - R_{e1} = 1\text{кОм} - 0,16\text{кОм} = 0,84\text{кОм}.$$

$$\text{Приймаємо } R_{e2} = 0,82\text{кОм}$$

20. Необхідно розрахувати мінімальні значення  $C_1, C_2$  і  $C_e$ . Для визначення  $C$  треба знати опори елементів, на які навантажені конденсатори.

Визначаємо  $M_i$ . У приведеній схемі спотворень вносять всі конденсатори, тому, вважаючи ці спотворень рівними, знаходимо  $M_i = \sqrt[3]{M}$ .

$$M_i = \sqrt[3]{1,1} = 1,04$$

21. Конденсатор  $C_1$  включений між джерелом сигналу і вхідним опором схеми. Нехтуючи опором джерела сигналу, оскільки воно значно менше вхідного опору схеми, знаходимо  $R_{ex} = R_1 \parallel R_2 \parallel r_{ex}$

де  $r_{ex}$  - опір переходу база-емітер (опір ланцюгу  $R_e C_e$  не враховуємо)

$$R_1, R_2, r_{ex} = h_{11e} - \text{відомі.}$$

$$\text{Тоді } R_1 \parallel R_2 = \frac{R_1 \cdot R_2}{R_1 + R_2} = \frac{56 \text{кОм} \cdot 10 \text{кОм}}{56 \text{кОм} + 10 \text{кОм}} = \frac{560 \text{кОм}}{66 \text{кОм}} = 8,5 \text{кОм}$$

$$R_{ex} = R_1 \parallel R_2 \parallel r_{ex} = \frac{R_1 \parallel R_2 \cdot r_{ex}}{R_1 \parallel R_2 + r_{ex}} = \frac{8,5 \text{кОм} \cdot 0,4 \text{кОм}}{8,5 \text{кОм} + 0,4 \text{кОм}} = \frac{3,4 \text{кОм}}{8,9 \text{кОм}} = 0,38 \text{кОм}$$

22. Конденсатор  $C_2$  включений між виходом схеми і навантаженням. Для розрахунку беремо  $R_H$  (вихідним опором схеми, зневажаємо).

23. Конденсатор  $C_e$  працює на опір  $r_e \parallel R_e$ . Якщо  $R_e > r_e$ , то для розрахунку беремо тільки

$$r_e = \frac{h_{11e}}{h_{21e}} = \frac{0,4 \text{кОм}}{30} = 0,013 \text{кОм}$$

24. По графіку (рис. 5.1), знаючи  $M_i$  знаходимо значення  $x_c / R = 0,2$ , і визначаємо

$$x_{c1} = \left(\frac{x_c}{R}\right) r_{ex} = 0,2 \cdot 0,4 \text{кОм} = 0,08 \text{кОм},$$

$$x_{ce} = \left(\frac{x_c}{R}\right) r_e = 0,2 \cdot 0,013 \text{кОм} = 0,0026 \text{кОм},$$

$$x_{c2} = \left(\frac{x_c}{R}\right) R_H = 0,2 \cdot 4 \text{кОм} = 0,8 \text{кОм},$$

- всі опори ( $r_{ex}, r_e, R_H$ ) – в кілоомах.

25. По графіку (рис. 5.2) знаходимо  $C_{np}$  (для навантаження  $R_H = 1 \text{кОм}$ ) і визначаємо: для  $f_H = 300 \text{Гц}$ ,  $C_{np} = 0,53$ .

$$C_1 = \frac{C_{np}}{x_{c1}} = \frac{0,53}{0,08} = 6,6 \text{мкФ},$$

$$C_e = \frac{C_{np}}{x_{ce}} = \frac{0,53}{0,0026} \approx 20,4 \text{мкФ},$$

$$C_2 = \frac{C_{np}}{x_{c2}} = \frac{0,53}{0,8} = 0,66 \text{мкФ}.$$

Конденсатори вибираємо з довідника (найближче більше).

$C_1$  вибираємо К50-6, 10мкФ, 6,3В (табл. В.2).

$C_e$  вибираємо К50-6, 22мкФ, 6,3В (табл. В.2).

$C_2$  вибираємо К73-16, 0,68мкФ, 63В (табл. В.1).

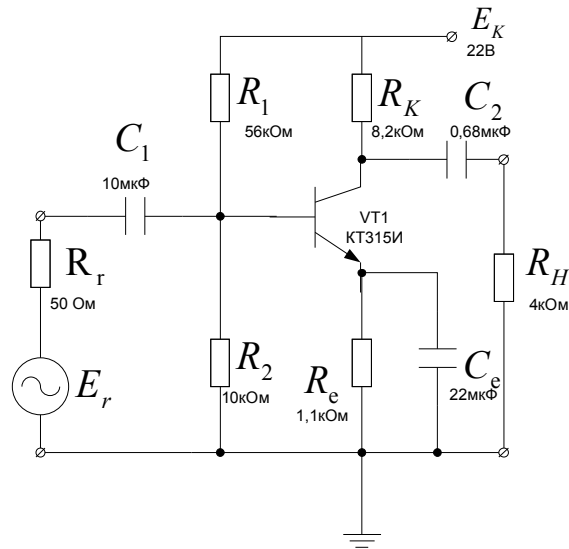


Рисунок 6.4 - Повна схема розрахованого каскаду із СЕ

## 6.2 Каскад з СБ

Задано:  $U_{вих.мах} = 3В$  (максимальна діюча напруга),  $U_{сигналу мах} = 0,2В$ ,

$R_H = 4кОм$ ,  $f_B = 20кГц$ ,  $f_H = 300Гц$ ,  $M = 1,10$ ,  $R_{дж.сигналу} = 50Ом$ . Ряд резисторів Е24.

1. Вибираємо схему каскаду з СБ:

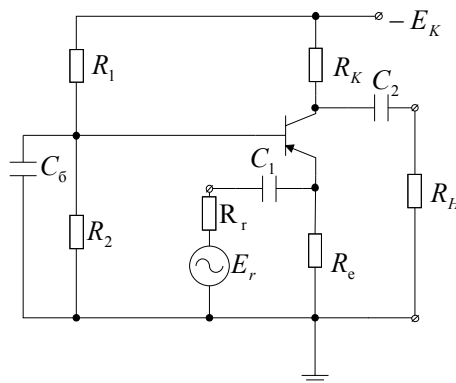


Рисунок 6.5 – Схема каскаду зі СБ

2. Знаходимо  $R_k = (1...2) \cdot R_H$ .

Приймаємо  $R_k = 2 \cdot 4 = 8кОм$ .

Вибираємо з ряду  $R_k = 7,5кОм$

3. Визначаємо падіння напруги на  $R_k$  в стані спокою

$$U_{R_{kcn}} = \frac{1,4U_{вих.макс}}{R_H} \cdot (R_K + R_H) + (1...2)B$$

$$U_{R_{kcn}} = \frac{1,4 \cdot 3B}{4кОм} \cdot (7,5кОм + 4кОм) + 1B = 13B.$$

4. Визначаємо  $U_{кесн} = 1,4U_{вих.макс} + 1B = 1,4 \cdot 3B + 1B = 5,2B$ .

5. Вибираємо  $U_{есн} = (1...2)B = 2B$ .

6. Визначаємо

$$E_{жив.} = U_{есн} + U_{кесн} + U_{R_{кcn}} = 2B + 5,2B + 13B = 20,2B.$$

$$\text{Приймаємо } E_{жив.} = 20B.$$

7. Визначаємо  $K_U$ , при  $R_{ист.сигн} \ll R_{ex}$

$$K_U = \frac{U_{вих.макс}}{U_{сигн.макс}} = \frac{3B}{0,2B} = 15$$

8. Знаходимо  $i_{кcn} = \frac{U_{R_{kcn}}}{R_k} = \frac{13B}{7,5кОм} = 1,73мА$

9. Вибираємо транзистор  $U_{ек} > E_{жив.}$ ,  $i_k > i_{кcn}$ ,  $P_{дон} > \frac{E_{жив.}^2}{4R_k}$ ,  $f > f_B$ ,  $h_{21} > K_U$

$$U_{ек} > 21B, i_k > 1,7мА, P_{дон} > 13,4мВт, f \gg 20кГц, h_{21} > 15$$

Підходить КТ361В:

$$U_{ек} = 40B; i_{kmax} = 50мА; P_{дон} = 150мВт, f = 100МГц, h_{21e} = (40...160).$$

10. Знаходимо  $i_{бсн} = \frac{i_{кcn}}{h_{21min}} = \frac{1,73мА}{40} = 0,043мА$ .

11. Вибираємо  $i_{\delta} = (3...7)i_{бсн} = 5 \cdot 0,04 = 0,2мА$ .

12. Знаходимо  $R_e = \frac{U_{есн}}{i_{кcn} + i_{бсн}} = \frac{2B}{1,73мА + 0,043мА} = \frac{2B}{1,77} = 1,13кОм$ .

13. Вибираємо  $R_e$  із заданого ряду, уточнюємо

$$R_e = 1,1кОм,$$

$$U_{есн} = (i_{кcn} + i_{бсн}) \cdot R_{евибр} = (1,73мА + 0,043мА) \cdot 1,1кОм = 1,95B.$$



14. Знаходимо по вхідній характеристиці транзистор  $U_{\bar{o}ecn} = 0,6B$ .

15. Визначаємо  $U_{\bar{o}cn} = U_{ecn} + U_{\bar{o}ecn} = 1,95B + 0,6B = 2,55B$

16. Визначаємо  $R_2 = \frac{U_{\bar{o}cn} + U_{ecn}}{i_{\bar{o}}} = \frac{2,55B + 1,95B}{0,2mA} = 22,5kOm$  і вибираємо  $R_2$  з ряду  $R_2 = 22kOm$ .

17. Визначаємо  $R_1 = \frac{E_{зжив} - i_{\bar{o}} \cdot R_2}{i_{\bar{o}} + i_{\bar{o}cn}} = \frac{20B - 0,2mA \cdot 22kOm}{0,2mA + 0,04mA} = \frac{15,6}{0,24} = 65kOm$  і вибираємо  $R_1$  з ряду:  $R_1 = 62kOm$ .

18. Перевіряємо  $U_{\bar{o}cn}$  при  $h_{21min}$  і  $h_{21max}$ :

$$\text{Для } h_{21min} \quad i_{\bar{o}}(h_{21min}) = \frac{i_{kcn}}{h_{21min}} = \frac{1,7mA}{40} \approx 0,042mA,$$

$$U_{\bar{o}cn} = (i_{\bar{o}} - i_{\bar{o}}) \cdot R_2 = (0,2mA - 0,042mA) \cdot 22kOm = 3,48B.$$

$$\text{Для } h_{21max} \quad i_{\bar{o}}(h_{21max}) = \frac{i_{kcn}}{h_{21max}} = \frac{1,73mA}{160} \approx 0,011mA,$$

$$U_{\bar{o}cn} = (i_{\bar{o}} - i_{\bar{o}}) \cdot R_2 = (0,2mA - 0,011mA) \cdot 22kOm = 4,16B, \quad \text{при цьому}$$

$$i_{ecn} = \frac{2,12B}{1kOm} = 2,1mA.$$

19. Перевіряємо  $K_U = h_{21min} \cdot \frac{R_k \parallel R_H}{r_{ex}} > \frac{U_{вих. max}}{U_{ex. max}}$

$$\text{де } U_{ex. max} = \frac{U_{сигн. max} \cdot R_{ex}}{R_{дж. сигн.} + R_{ex}}$$

$$R_{ex} = R_1 \parallel R_2 \parallel h_{11}$$

$$R_1 \parallel R_2 = \frac{R_1 \cdot R_2}{R_1 + R_2} = \frac{62kOm \cdot 22kOm}{62kOm + 22kOm} = \frac{1496kOm}{90kOm} = 16,24kOm$$

$$R_{ex} = R_1 \parallel R_2 \parallel h_{11} = \frac{R_1 \parallel R_2 \cdot h_{11}}{R_1 \parallel R_2 + h_{11}} = \frac{16,24kOm \cdot 0,4kOm}{16,24kOm + 0,4kOm} = 0,39kOm$$

$$U_{ex. max} = \frac{U_{сигн. max} \cdot R_{ex}}{R_{дж. сигн.} + R_{ex}} = \frac{0,2B \cdot 0,39kOm}{0,05kOm + 0,39kOm} = 0,177B$$

$$K_U = h_{21min} \cdot \frac{R_k \parallel R_H}{r_{ex}} = 40 \cdot \frac{7,54}{0,4} = 260$$

$$\frac{U_{вих. max}}{U_{ex. max}} = \frac{3B}{0,18B} = 16,7$$

$$K_U = h_{21min} \cdot \frac{R_k \parallel R_H}{r_{ex}} > \frac{U_{вих. max}}{U_{ex. max}}$$

Розрахунок виконаний вірно, тому що  $270 > 16,7$  (див. п. 19)\*.

\*Примітка.

Якщо треба одержати підсилення у задане число разів, то резистор  $R_e$  треба зробити з двох частин  $R_{e1}$  та  $R_{e2}$ .  $R_{e2}$  зашунтувати конденсатором  $C_e$ .

$$\text{При цьому } K_U = \frac{R_k \parallel R_H}{R_{e1}}.$$

$$\text{Звідси } R_{e1} = \frac{R_k \parallel R_H}{K_U} = \frac{2,6}{15} = 0,17 \text{ кОм.}$$

$$\text{Приймаємо } R_{e1} = 0,16 \text{ кОм.}$$

$$R_{e2} = R_e - R_{e1} = 1 \text{ кОм} - 0,16 \text{ кОм} = 0,84 \text{ кОм},$$

$$\text{Приймаємо } R_{e2} = 0,82 \text{ кОм,}$$

Щоб розрахувати мінімальні значення  $C_1, C_2$  і  $C_e$  для схеми 6.5 треба знати опори елементів, на які навантажені конденсатори та  $M_i$ .

20. Визначаємо  $M_i$ . У приведеній схемі спотворення вносять всі конденсатори, тому, вважаючи ці спотворень рівними, знаходимо  $M_i = \sqrt[3]{M}$ .

$$M_i = \sqrt[3]{1,1} = 1,04$$

21. Конденсатор  $C_1$  включений між джерелом сигналу і вхідним опором схеми. Нехтуючи опором джерелом сигналу, оскільки воно значно менше вхідного опору схеми, знаходимо  $R_{ex} = R_1 \parallel R_2 \parallel r_{ex}$

де  $r_{ex}$  - опір переходу база-емітер (опір ланцюгу  $R_e C_e$  не враховуємо)

$$R_1, R_2, r_{ex} = h_{11\beta} - \text{відомі.}$$

$$\text{Тоді } R_1 \parallel R_2 = \frac{R_1 \cdot R_2}{R_1 + R_2} = \frac{68 \text{ кОм} \cdot 22 \text{ кОм}}{68 \text{ кОм} + 22 \text{ кОм}} = \frac{1496 \text{ кОм}}{90 \text{ кОм}} = 16,6 \text{ кОм}$$

$$R_{ex} = R_1 \parallel R_2 \parallel r_{ex} = \frac{R_1 \parallel R_2 \cdot r_{ex}}{R_1 \parallel R_2 + r_{ex}} = \frac{16,6 \text{ кОм} \cdot 0,4 \text{ кОм}}{16,6 \text{ кОм} + 0,4 \text{ кОм}} = \frac{6,64 \text{ кОм}}{17 \text{ кОм}} = 0,39 \text{ кОм}$$

$$\text{Приймаємо } R_{ex} = 0,39 \text{ кОм}$$

22. Конденсатор  $C_2$  включений між виходом схеми і навантаженням. Для розрахунку беремо  $R_H$  (вихідним опором схеми, зневажаємо).

23. Конденсатор  $C_e$  працює на опір  $r_e \parallel R_e$ . Якщо  $R_e > r_e$ , то для розрахунку беремо тільки

$$r_e = \frac{h_{1e}}{h_{21e}} = \frac{0,4 \text{ кОм}}{40} = 0,01 \text{ кОм.}$$

24. По графіку (рис. 5.1), знаючи  $M_i$  знаходимо значення  $x_c / R = 0,2$ , і визначаємо

$$x_{c1} = \left(\frac{x_c}{R}\right)r_{ex} = 0,2 \cdot 0,4 \text{кОм} = 0,08 \text{кОм},$$

$$x_{ce} = \left(\frac{x_c}{R}\right)r_e = 0,2 \cdot 0,01 \text{кОм} = 0,002 \text{кОм},$$

$$x_{c2} = \left(\frac{x_c}{R}\right)R_H = 0,2 \cdot 4 \text{кОм} = 0,8 \text{кОм},$$

- всі опори ( $r_{ex}, r_e, R_H$ ) – в кілоомах.

23. По графіку (рис. 5.2) знаходимо  $C_{np}$  (для навантаження  $R_H = 1 \text{кОм}$ ) і визначаємо: для  $f_H = 300 \text{Гц}$ ,  $C_{np} = 0,53$ .

$$C_1 = \frac{C_{np}}{x_{c1}} = \frac{0,53}{0,08} = 6,6 \text{мкФ},$$

$$C_6 = \frac{C_{np}}{x_{c6}} \frac{0,53}{0,002} \approx 265 \text{мкФ},$$

$$C_2 = \frac{C_{np}}{x_{c2}} = \frac{0,53}{0,8} = 0,66 \text{мкФ}.$$

Конденсатори вибираємо з довідника (найближче більше).

$C_1$  вибираємо К71-4, 6,8мкФ, 160В (табл. В.1).

$C_6$  вибираємо К50-7, 330мкФ, 160В (табл. В.2).

$C_2$  вибираємо К73-17, 0,68мкФ, 63В (табл. В.1).

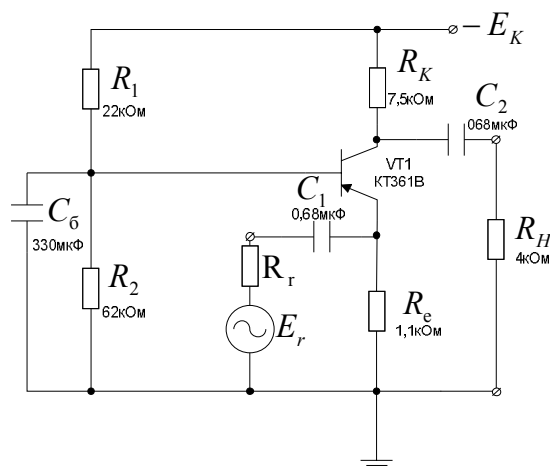


Рисунок 6.6 - Повна схема розрахованого каскаду із СБ

### 6.3 Каскад із СК

Задано:  $U_{вих.маx} = 3B$ , (максимальна діюча вихідна напруга),  $R_H = 2кОм$ ,  
 $f_B = 20кГц$ ,  $f_H = 300Гц$ ,  $M = 1,10$ ,  $K_i = 10$ , ряд резисторів Е24.

1. Обираємо схему:

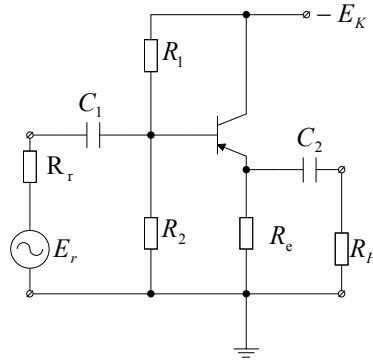


Рисунок 6.7 - Каскад з СК.

2. Знаходимо  $R_e = (1...5) \cdot R_H$ ,

Приймаємо  $R_e = 2 \cdot R_H = 2 \cdot 2кОм = 4кОм$

Вибираємо з ряду  $R_e = 3,9кОм$

3. Знаходимо

$$U_{есп} = \frac{1,4U_{вих.маx}}{R_H} \cdot (R_H + R_e) + (1...2)B$$

$$U_{есп} = \frac{3B \cdot 1,4}{2кОм} \cdot (2кОм + 3,9кОм) + 1B \approx 13,4B$$

4. Визначаємо  $U_{кесп} = 1,4U_{вих.маx} + 1B = 1,4 \cdot 3B + 1B = 5,2B$ ;

5. Знаходимо  $E_{жив} \geq U_{есп} + U_{кесп} = 13,4B + 5,2B = 18,6B$  (вибирається із ряду);

Приймаємо  $E_{жив} = 20B$ ,  $U_{кесп} = 5,6B$ ,  $U_{есп} = 14,4B$  (Добавку 1,4В розподіляємо пропорційно).

6. Визначаємо  $i_{e.маx} = \frac{E}{R_e} + i_{н.маx}$ , де  $i_{н.маx} = \frac{1,4U_{вих.маx}}{R_H} = \frac{1,4 \cdot 3B}{2кОм} = 2,1мА$ ,

$$i_{e.маx} = \frac{E}{R_e} + i_{н.маx} = \frac{20B}{3,9кОм} + 2,1мА = 7,23мА$$

7. Знаходимо  $P_{маx} = \frac{E^2}{4R_e} = \frac{400B}{3,9кОм \cdot 4} = 25,6мВт$ ;

8. Вибираємо транзистор за наступними параметрами,  $U_{к.дон} > 20В$ ,  $i_{к.дон} > 6,46мА$ ,  $P_{дон} > 25,6мВт$ ,  $f > 20кГц$ ,  $h_{21} = (4...10)K_i = 40$  коефіцієнт в дужках визначається по графіку (рис. 6.8).

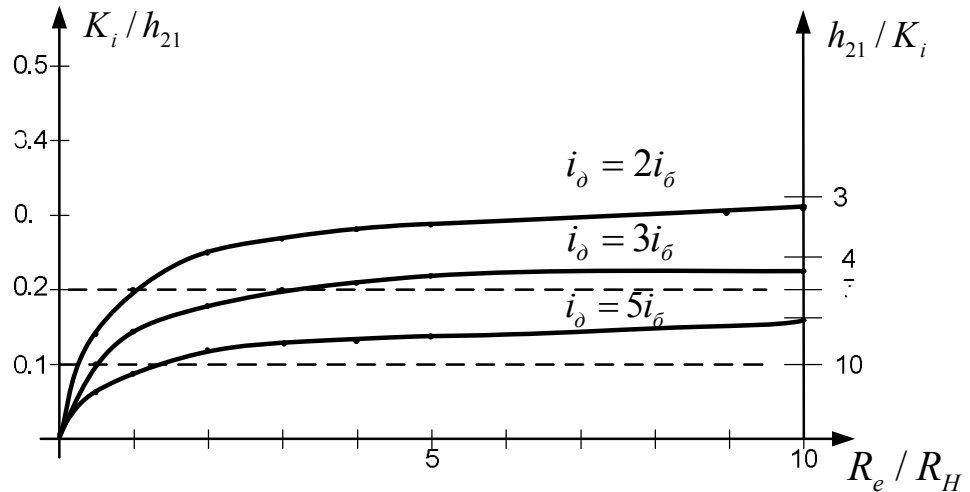


Рисунок 6.8 - Залежність коефіцієнта посилення струму від співвідношення  $R_e$  від  $R_H$

Підходить КТ357Г:  $U_{к.дон} = 20В$ ,  $i_{к.дон} = 40мА$ ,  $P_{дон} = 100мВт$ ,  $h_{21} = (60...300)$

9. Визначаємо  $i_б = \frac{i_{есн}}{h_{21\min}}$ ; ( $i_{есн} = \frac{U_{есн}}{R_e}$ );

$$i_{есн} = \frac{U_{есн}}{R_e} = \frac{14,4В}{3,9кОм} \approx 3,7мА;$$

$$i_д = \frac{i_{есн}}{h_{21\min}} = \frac{3,7мА}{60} = 0,06мА$$

10. Визначаємо з рис. 6.8, так як  $R_k = 2R_H$  і  $h_{21} = 6K_i$ , приймаємо  $i_д = 3i_б$ ,

$$i_б = \frac{i_д}{3} = \frac{0,06мА}{3} = 0,02мА;$$

11. Визначаємо  $R_1 = \frac{U_{кесн} - 0,6В}{i_д} = \frac{5,6В - 0,6В}{0,06мА} \approx 83,3кОм$ ;

Вибираємо з ряду  $R_1 = 82кОм$

12. Знаходимо  $R_2 = \frac{U_{есн} + 0,6В}{i_д - i_б} = \frac{14,4В + 0,6В}{0,06мА - 0,02мА} = 375кОм$ ;

Вибираємо з ряду  $R_2 = 360кОм$

Далі необхідно розрахувати мінімальні значення  $C_1$  і  $C_2$ . Для визначення  $C$  треба знати опори елементів, на які навантажені конденсатори.

Визначаємо  $M_i$ . У приведеній схемі спотворень вносять всі конденсатори, тому, вважаючи ці спотворень рівними, знаходимо  $M_i = \sqrt{M}$ .

$$M_i = \sqrt{1,1} = 1,048$$

13. Конденсатор  $C_1$  включений між джерелом сигналу і вхідним опором схеми. Нехтуючи опором джерела сигналу, оскільки він значно менше вхідного опору схеми, знаходимо  $R_{ex} = R_1 \parallel R_2 \parallel r_{ex}$

де  $r_{ex}$  - опір переходу база-емітер (опір ланцюгу  $R_e C_e$  не враховуємо)

$$R_1, R_2 - \text{відомі, } r_{ex} = (R_e \parallel R_H) h_{21}$$

$$r_{ex} = \frac{R_e \cdot R_H}{R_e + R_H} \cdot h_{21} = \frac{3,9 \text{кОм} \cdot 2 \text{кОм}}{3,9 \text{кОм} + 2 \text{кОм}} \cdot 60 = \frac{7,8}{5,9} \cdot 60 = 79,2 \text{кОм}$$

$$\text{Тоді } R_1 \parallel R_2 = \frac{R_1 \cdot R_2}{R_1 + R_2} = \frac{82 \text{кОм} \cdot 368 \text{кОм}}{82 \text{кОм} + 368 \text{кОм}} = \frac{30176 \text{кОм}}{450 \text{кОм}} \approx 67,05 \text{кОм}$$

$$R_{ex} = R_1 \parallel R_2 \parallel r_{ex} = \frac{R_1 \parallel R_2 \cdot r_{ex}}{R_1 \parallel R_2 + r_{ex}} = \frac{67,05 \text{кОм} \cdot 79,2 \text{кОм}}{67,05 \text{кОм} + 79,2 \text{кОм}} = \frac{5028,75 \text{кОм}}{142,05 \text{кОм}} \approx 34,67 \text{кОм}$$

14. Конденсатор  $C_2$  включений між виходом схеми і навантаженням. Для розрахунку беремо  $R_H$  (вихідним опором схеми, зневажаємо).

14. По графіку (рис. 5.1), знаючи  $M_i$  знаходимо значення  $x_c / R = 0,2$ , і визначаємо

$$x_{c1} = \left(\frac{x_c}{R}\right) R_{ex} = 0,2 \cdot 35 \text{кОм} = 7 \text{кОм},$$

$$x_{c2} = \left(\frac{x_c}{R}\right) R_H = 0,2 \cdot 2 \text{кОм} = 0,4 \text{кОм},$$

- всі опори ( $r_{ex}, r_e, R_H$ ) – в кілоомах.

17. По графіку (рис. 5.2) знаходимо  $C_{np}$  (для навантаження  $R_H = 1 \text{кОм}$ ) і визначаємо: для  $f_H = 300$  Гц,  $C_{np} = 0,53$ .

$$C_1 = \frac{C_{np}}{x_{c1}} = \frac{0,53}{7} \approx 0,076 \text{мкФ},$$

$$C_2 = \frac{C_{np}}{x_{c2}} = \frac{0,53}{0,4} = 1,3 \text{мкФ}.$$

Конденсатори вибираємо з довідника (найближче більше).

$C_1$  вибираємо К73-21, 0,075мкФ, 63В (табл. В.1).

$C_2$  вибираємо К71-4, 1,5мкФ, 160В (табл. В.1).

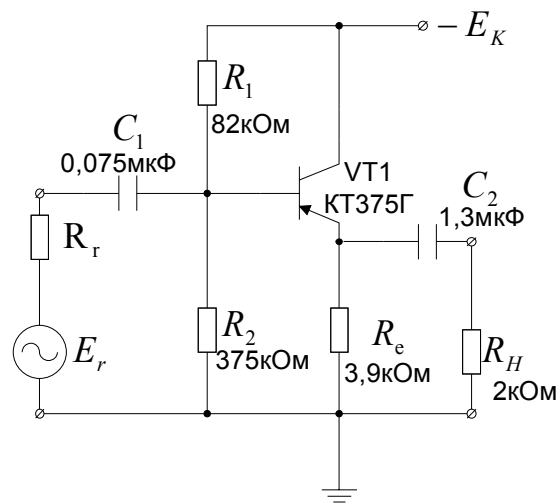


Рисунок 6.9 – Повна схема розрахованого каскаду із СК

#### 6.4 Фазоінверсний каскад

Завдання: Розробити ФІК з вихідною напругою 2,5В на навантаженнях  $R_{H1} = R_{H2} = 510$  Ом (резистори вибирати з ряду E24),  $f_s$ ,  $f_H$ ,  $M$ .

1. Вибираємо схему і тип транзистора.

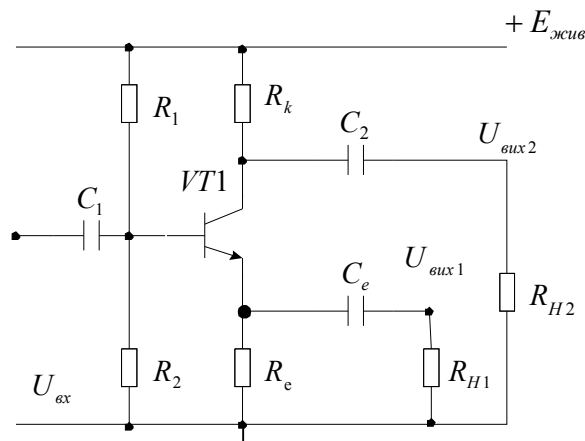


Рисунок 6.6 – Вибір схеми ФІК.

2. Визначаємо  $R_k = R_e = 1,4 \cdot 510 = 714$  Ом. Вибираємо  $R_k = R_e = 750$  Ом.

3. Визначаємо  $U_{R_{есн}} = \frac{1.4 \cdot 2.5}{510} \cdot (510 + 750) + 2 = 10,6B$ .
4. Визначаємо  $U_{кесн} = 2.8 \cdot 2.5 + 2 = 9B$ , тоді  $R_k = R_e = 510\text{Ом}$ .
5. Визначаємо  $E_{жив} = 10,6 \cdot 2 + 9 = 30B$  (вибираємо з додатку Е),  
приймаємо  $E_{жив} = 27B$ .
6. Вибираємо транзистор.

Визначаємо вимоги:  $U_{ек} > 27B$ ,  $i_k > 53\text{мА}$ ,  $P > 182\text{мВт}$ .

Підходить КТ3102А:  $U_{ек} > 50B$ ,  $i_{k\text{max}} = 100\text{мА}$ ,  $P = 250\text{мВт}$ ,  
 $h_{21e} = (100 \dots 250)$ ,  $f = 100\text{МГц}$ .

7. Знаходимо  $i_{кн} = \frac{9}{0,51} \approx 18\text{мА}$ .

8. Знаходимо  $i_{бсн} = \frac{18\text{мА}}{100} = 0,18\text{мА}$ .

9. Вибираємо  $i_{\delta} = 3i_{бсн} = 3 \cdot 0,18 = 0,54\text{мА}$

10. Знаходимо по вхідній характеристиці транзистора (довідник під ред. Б.Л. Перельмана, стор. 206)  $U_{бесн} = 0,5B$ .

11. Знаходимо  $U_{бсн} = 9 + 0,5 = 9,5B$ .

12. Знаходимо  $R_2 = \frac{U_{бсн}}{i_{\delta} - i_{бсн}} = \frac{9,5}{0,36} = 126,4 \text{кОм}$ .

Приймаємо  $R_2 = 27\text{кОм}$ .

13. Знаходимо  $R_1 = \frac{E - U_{бсн}}{i_{\delta}} = \frac{27 - 9,5}{0,54} = 32,4 \text{кОм}$ .

Приймаємо  $R_1 = 33\text{кОм}$ .

14. Перевіряємо  $U_{бсн}$ , вирішуючи рівняння  $\frac{E_{жив} - U_{бсн}}{R_1} = \frac{U_{бсн}}{R_2} + i_{бсн}$ ;

$$U_{бсн} = \left[ \frac{E_{жив}}{R_1} - i_{бсн} \right] (R_1 \parallel R_2) = \left[ \frac{27}{33} - 0,18 \right] \left( \frac{27 \cdot 33}{27 + 33} \right) = 9,504B.$$

Розрахунок виконаний вірно, оскільки  $9,504 \approx 9,5$  (див. п. 11).

15. Необхідно розрахувати мінімальні значення  $C_1, C_2$  і  $C_3$ . Для визначення  $C$  треба знати опори елементів, на які навантажені конденсатори.



Визначаємо  $M_i$ . У приведеній схемі спотворень вносять всі конденсатори, тому, вважаючи ці спотворень рівними, знаходимо  $M_i = \sqrt{M}$ .

$$M_i = \sqrt{1,1} = 1,05$$

16. Конденсатор  $C_1$  включений між джерелом сигналу і вхідним опором схеми. Нехтуючи опором джерелом сигналу, оскільки воно значно менше вхідного опору схеми, знаходимо  $R_{\text{вх}} = R_1 \parallel R_2 \parallel r_{\text{вх}}$

де  $r_{\text{вх}}$  - вхідний опір транзистора, емітер якого містить  $R_e, R_H$ .

$$r_{\text{вх}} = (R_e \parallel R_H) \cdot h_{21} = (0,51 \parallel 0,51) \cdot 100 = 25,5 \text{кОм}.$$

$R_1, R_2$  - відомі,

$$\text{Тоді } R_1 \parallel R_2 = \frac{R_1 \cdot R_2}{R_1 + R_2} = \frac{27 \text{кОм} \cdot 33 \text{кОм}}{27 \text{кОм} + 33 \text{кОм}} = 9,504 \text{кОм};$$

$$R_{\text{вх}} = R_1 \parallel R_2 \parallel r_{\text{вх}} = \frac{R_1 \parallel R_2 \cdot r_{\text{вх}}}{R_1 \parallel R_2 + r_{\text{вх}}} = \frac{9,5 \text{кОм} \cdot 25,5 \text{кОм}}{9,5 \text{кОм} + 25,5 \text{кОм}} = 6,92 \text{кОм}.$$

17. Конденсатор  $C_2$  включений між виходом схеми і навантаженням. Для розрахунку беремо  $R_H$  (вихідним опором схеми, зневажаємо).

19. По графіку (рис. 5.1), знаючи  $M_i$  знаходимо значення  $x_c / R = 0,2$ , і визначаємо

$$x_{c1} = \left(\frac{x_c}{R}\right) R_{\text{вх}} = 0,2 \cdot 6,9 \text{кОм} = 1,38 \text{кОм},$$

$$x_{c2} = \left(\frac{x_c}{R}\right) R_H = 0,2 \cdot 0,51 \text{кОм} = 0,102 \text{кОм},$$

- всі опори ( $r_{\text{вх}}, r_e, R_H$ ) – в кілоомах.

20. По графіку (рис. 5.2) знаходимо  $C_{np}$  (для навантаження  $R_H = 1 \text{кОм}$ ) і визначаємо: для  $f_H = 300 \text{Гц}$ ,  $C_{np} = 0,53$ .

$$C_1 = \frac{C_{np}}{x_{c1}} = \frac{0,53}{1,38} = 0,38 \text{мкФ},$$

$$C_2 = \frac{C_{np}}{x_{c2}} = \frac{0,53}{0,1} = 5,3 \text{мкФ}.$$

Конденсатори вибираємо з довідника (найближче більше).

$C_1$  вибираємо К73-16, 0,1мкФ, 63В (табл. В.1).

$C_2$  вибираємо К50-16, 5,1мкФ, 50В (табл. В.1).

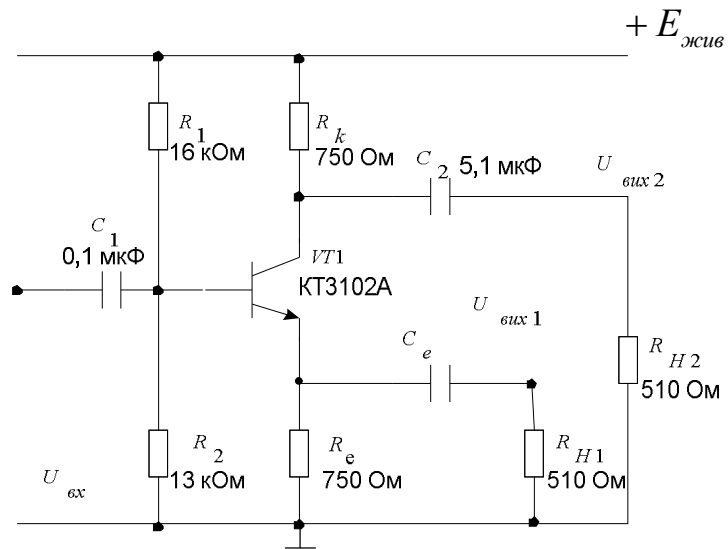


Рисунок 6.7 – Повна схема розрахованого фазоінверсного каскаду

## **Висновок**

Даний посібник допомагає студентам спеціальності «Системи управління і автоматика» здобувати практичні навички проектування систем автоматичного управління.

Методи розрахунку, викладені у посібнику, не стандартні, дозволяють отримати результат, близький до отриманого, з максимальним коефіцієнтом корисної дії.

У посібнику приведені правила розрахунку усіх каскадів, що значно спрощує роботу студентів, особливо заочної форми навчання.

При необхідності, посібник можна буде доповнити прикладами розрахунку більш складних каскадів (з джерелами струму, на декількох транзисторах та інш.).

## Література

1. Забродин Ю.С. Промышленная электроника: Учебник для вузов – М.: В.Ш., 1982 – 496 с.
2. Гусев В.Г., Гусев Ю.М. Электроника: Учебное пособие для студентов приборостроительных специальностей вузов, изд. 2-е. М.: В.Ш., 1991 – 622 с.
3. Схемотехніка електронних схем. Жуйков В.О., Бойко В.І., Зорі А.А. та інші., Т.1 – Аналогова схемотехніка та імпульсні пристрої. К.: Аверс, 2002 – 364 с.
4. Расчет электронных схем. Учебное пособие для вузов/Г.И. Изъюрова, Г.В. Королев, В.А. Терехов и др. – М.: В.Ш., 1987 - 335с.
5. Прянишников В.А., Электроника: Полный курс лекций – 3-е изд. – С.Пб.: Учитель и ученик: Корона принт. 2003 -416 с.
6. Транзисторы для аппаратуры широкого применения: Справочник/К.М. Брежнева, Е.И. Гонтман, Т.Н. Давыдова и др. Под ред. Б.Л. Перельмана – М.: Радио и связь, 1981 – 656 с.
7. В помощь радиолюбителю: сборники. Вып. 109, 110, 111 (Сост. И.Н. Алексеева – М.: Патриот, 1991).

## ДОДАТОК А. Транзистори

*Біполярний транзистор* – напівпровідниковий прилад з двома взаємодіючими переходами і трьома або більш виводами, підсилювальні властивості якого обумовлені явищами інжекції, і екстракції не основних носіїв зарядів робота біполярного транзистора залежить від носіїв обидві полярностей.

*Польовий транзистор* - напівпровідниковий прилад, підсилювальні властивості якого обумовлені потоком основних носіїв, що протікає через провідний канал, і керований електричним полем. Дія польового транзистора обумовлена носіями заряду однієї полярності.

Основні параметри транзисторів приведені нижче. Буквені позначення параметрів надані відповідно до ГОСТ 20003-74 „Транзистори биполярные. Термины, определения и буквенные обозначения параметров” і ГОСТ 19095-73 „Транзистори полевые. Термины, определения и буквенные обозначения параметров”.

### 1. ГРАНИЧНО ДОПУСТИМИ ПАРАМЕТРИ РЕЖИМУ ЕКСПЛУАТАЦІЇ

$I_{k \max}$  ( $I_k$  і  $\max$ ) – максимально допустимий постійний (імпульсний) струм колектора;

$P_{k \max}$  ( $P_k$  і  $\max$ ) – максимально допустима постійна (імпульсна) розсіювана потужність колектора;

$P_{\max}$  - максимально допустима постійна розсіювана потужність польового транзистора;

$U_{ke}$  - постійна напруга колектор–емітер;

$U_{keR}$  - постійна напруга колектор–емітер при визначеному опорі в ланцюзі база–емітер;

$U_{keOcp}$  - гранична напруга біполярного транзистора;

$U_{kбmax}$  - максимально допустима постійна напруга колектор-база;

$U_{ебmax}$  - максимально допустима постійна напруга емітер-база;

$U_{CImax}$  - максимально допустима напруга стік-витік;

$U_{ЗИmax}$  - максимально допустима напруга затвор-витік;

$U_{ЗCmax}$  - максимально допустима напруга затвор-стік;

$I_{Cmax}$  - максимально допустимий постійний струм стоку.

## 2. СТАТИЧНІ ПАРАМЕТРИ ТРАНЗИСТОРІВ

$I_{кб0}$  - постійний зворотній струм колектора;

$I_{кеR}$  - постійний зворотній струм колектор-еметтер при певному опорі в ланцюзі база-емітер;

$I_{еб0}$  - постійний зворотній струм емітера;

$I_{зут}$  - постійний струм витоку затвора;

$I_{Снач}$  - постійний початковий струм стоку;

$U_{кенас}$  - напруга насичення колектор-емітер;

$U_{еенас}$  - напруга насичення база-емітер;

$U_{ЗИотс}$  - напруга відсічення польового транзистора;

$h_{21e}$  - статичний коефіцієнт передачі струму біполярного транзистора в схемі із загальним емітером: відношення постійного струму колектора до постійного струму бази.

### 3. ПАРАМЕТРИ В РЕЖИМІ МАЛОГО СИГНАЛУ

$h_{21e}$  - коефіцієнт передачі струму біполярного транзистора в режимі малого сигналу в схемі із спільним емітером;

$h_{11e}$  - вихідний опір біполярного транзистора в режимі малого сигналу в схемі із спільним емітером;

$h_{22e}$  - повна вихідна провідність біполярного транзистора в режимі малого сигналу при холостому ході в схемі із спільним емітером;

$S$  - крутизна характеристики польового транзистора: відношення струму стоку до зміни напруги на затворі при короткому замиканні по змінному струму на вході транзистора в схемі із загальним витоком;

$C_K$  - ємність колекторного переходу. При збільшенні зворотної напруги ємність зменшується;

$C_e$  - ємність емітерного переходу. При збільшенні зворотного зсуву на емітері ємність зменшується;

$C_{11u}$  - ємність польового транзистора: ємність між затвором сполученими разом витоком і стоком;

$C_{12u}$  - ємність польового транзистора: ємність між стоком і затвором;

$C_{22u}$  - вихідна ємність польового транзистора.

### 4. ЧАСТОТНІ ПАРАМЕТРИ

$f_{21}$  - гранична частота коефіцієнта передачі струму біполярного транзистора: частота, на якій модуль коефіцієнта передачі струму  $|h_{21e}|$  зменшується на 3 дБ, тобто до 07;

$f_{cp}$  - гранична частота коефіцієнта передачі струму в схемі із спільним емітером: частота, на якій  $|h_{21e}|$  транзистора, включеного в схемі із спільним емітером, рівний одиниці;

$K_{ш}$  - коефіцієнт шуму біполярного (польового) транзистора;

$K_{ур}$  - коефіцієнт посилення по потужності біполярного (польового) транзистора;

$E_{ш}$  - електродвижуча сила шуму польового транзистора;

$P_{вих}$  - вихідна потужність біполярного (польового) транзистора.

Параметри транзисторів в табл. 1.8 приведені при нормальній температурі навколишнього середовища (250С).



Приложение А.1 - Транзисторы маломощные высокочастотные

Таблица А.1

Тип	$I_{кmax}, mA$	$I_c, \text{ и } I_{max}, mA$	$P_{кmax}, mBт$	$U_{кЭР} (U_{кЭ}), B$	$U_{эбmax}, B$	$f_{г1}, MГц$	$h_{21э}$	$I_{кБ0}, мкА$	$U_{кЭнас}, B$	$U_{эБнас}, B$	$R_{гн-с}, C/Bт$	Корпус (рис.1)
n-p-n												
КТ301Г	10	20	58	30	3	60	(10...32)	10	3	2,5	600	ТР24
КТ301Д	10	20	58	0	3	60	(20...60)	10	3	2,5	600	ТР24
КТ301Е	10	20	58	30	3	60	(40... 120)	10	3	2,5	600	ТР24
КТ301Ж	10	20	58	30	3	60	(80.300)	10	3	2,5	600	ТР24
КТ339А	25		260	25	4	100	25					ТР3
КТ312А	30	60	225	20	4	80	(10...100)	10	0,8	1,1	400	ТР25
КТ312Б	30	60	225	35	4	120	(25.100)	10	0,8	1,1	400	ТР25
КТ312В	30	60	225	20	4	120	(50.280)	10	0,8	1,1	400	ТР25
КТ358А	30	60	100	15	4	80	(10.100)	10	0,8	1,1	700	ТР26
КТ358Б	30	60	100	30	4	120	(25... 100)	10	0,8	1,1	700	ТР26
КТ358В	30	60	100	15	4	120	(50.280)	10	0,8	1,1	700	ТР26
КТ601А	30		250	100	2	40	(16)	500				ТР2
КТ601АМ	30		250	100	2	40	(16)	500				ТР12
КТ315Ж	50		100	15	6	100	30.250	1	0,5	0,9		ТР27
КТ315И	50		100	60	6	100	>30	1				ТР27

КТ340А	50	200	150	15	5	300	100...150	1	0,2			TP3
КТ340Б	50	200	150	20	5	300	>100	1	0,25			TP3
КТ340В	50	200	150	15	5	300	>35	1	0,4			TP3
1	2	3	4	5	6	7	8	9	10	11	12	13
КТ340Д	50	200	150	15	5	300	>40	1	0,3			TP3
КТ342А	50	300	250	30	5	100	25.250	1	0,1	0,9		TP3
КТ342Б	50	300	250	25	5	100	50.500	1	0,1	0,9		TP3
КТ342В	50	300	250	10	5	100	100...1000	1	0,1	0,9		TP3
КТ373А	50	200	150	30	5	100	100...250	0,05	0,1	0,9		TP28
КТ373Б	50	200	150	25	5	100	200...600	0,05	0,1	0,9		TP28
КТ373В	50	200	150	10	5	100	500...1000	0,05	0,1	0,9		TP28
КТ373Г	50	200	150	60	5	100	50...125	0,05	0,1	0,9		TP28
КТ340Г	75	500	150	15	5	300	>16	1	0,6			TP3
КТ602А	75	500	650	100	5	150	20...80	70	3	3	150	TP29
КТ602Б	75	500	650	100	5	150	>50	70	3	3	150	TP29
КТ315А	100		150	25	6	100	20...90	1	0,4	1,1		TP27
КТ315Б	100		150	20	5	100	50...350.	1	0,4	1,1		TP27
КТ315В	100		150	40	6	100	90	1	0,4	1,1		TP27
КТ315Г	100		150	35	6	100	50...350	1	0,4	1,1		TP27
КТ315Д	100		150	40	6	100	20...90	1	1	1,5		TP27
КТ315Е	100		150	35	6	100	50..350	1	1	1,5		TP27
КТ375А	100	200	200	60		100	10...100	1	0,4	1		TP30
КТ375Б	100	200	200	30		100	50...280	1	0,4	1		TP30
КТ3102А	100	200	250	50	5	100	100...250	0,05			400	TP3

Тип	$I_{к\max}, \text{мА}$	$I_{к, \text{и тmax}}, \text{мА}$	$P_{к\max}, \text{мВт}$	$U_{кэ\text{р}} (U_{кэ}), \text{В}$	$U_{э\text{бmax}}, \text{В}$	$f_{\text{г1}}, \text{МГц}$	$h_{21э}$	$I_{к\text{Б0}}, \text{мкА}$	$U_{к\text{энас}}, \text{В}$	$U_{\text{Б3нас}}, \text{В}$	$R_{\text{Тп-с}}, \text{С/Вт}$	Корпус (рис.1)
КТ3102Б	100	200	250	50	5	100	200...500	0,05			400	ТР3
КТ3102В	100	200	250	30	5	100	200...500	0,05			400	ТР3
КТ3102Г	100	200	250	20	5	100	400...1000	0,05			400	ТР3
КТ3102Д	100	200	250	30	5	100	200.500	0,05			400	ТР3
КТ3102Е	100	200	250	50	5	100	400... 1000	0,05			400	ТР3
КТ605А	100	200	400	250	5	40	10.40	20	8		300	ТР2
КТ605АМ	100	200	400	250	5	40	10...40	20	8		300	ТР12
КТ605Б	100	200	400	250	5	40	30... 120	20	8		300	ТР2
КТ605БМ	100	200	400	250	5	40	30... 120	20	8		300	ТР12
КТ618А	100		500	250	5		30	50			300	ТР31
КТ603А	300	600	500	30	3	200	10...80	10	1	1,5	200	ТР2
КТ603Б	300	600	500	30	3	200	>60	10	1	1,5	200	ТР2
КТ603В	300	600	500	15	3	200	10...80	5	1	1,5	200	ТР2
КТ603Г	300	600	500	15	3	200	>60	5	1	1,5	200	ТР2
КТ603Д	300	600	500	10	3	200	20...80	1	1	1,5	200	ТР2
КТ603Е	300	600	500	10	3	200	60...200	1	1	1,5	200	ТР2
КТ3117А	400	800	300	50	4	200	40...200	10	0,6	1,2		ТР3
КТ608А	400	800	500	60	5	200	20...60	10	1	2	200	ТР2

КТ608Б	400	800	500	60	5	200	40.160	10	1	2	200	TP2
КТ616А	400	600	300	20	4		40	15	0,6	2	260	TP31
КТ616Б	400	600	300	20	4		25	15	0,6	2	260	TP31
КТ617А	400	600	500	20	4	200	30	15	0,7		215	TP31
КТ646А	500	700	1000	50	4		40...200	10	1	1,2		TP12
КТ630А	1000	2000	800	120	7	50	40...120	1	0,3	1,1		TP32
КТ630Б	1000	2000	800	120	7	50	80...240	1	0,3	1,1		TP32
КТ630В	1000	2000	800	150	7	50	40..120	1	0,3	1,1		TP32
КТ630Г	1000	2000	800	100	7	50	40..	1	0,3	1,1		TP32
КТ630Е	1000	2000	800	60	7	50	160...460	1	0,3	1,1		TP32
p-n-p												
ГТ309А	10		50	10		120	20...70	5			100	TP1
ГТ309Б	10		50	10		120	60...180	5			100	TP1
ГТ309В	10		50	10		80	20...70	5			100	TP1
ГТ309Г	10		50	10		80	60... 180	5			100	TP1
ГТ309Д	10		50	10		40	20...70	5			100	TP1
ГТ309Е	10		50	10		40	60..180	5			100	TP1
ГТ310А	10		20	10		10	(20...70)				200	TP8
ГТ310Б	10		20	10		10	(60...180)				200	TP8
ГТ310В	10		20	10		10	(20...70)				200	TP8
ГТ310Г	10		20	10		10	(60...180)				200	TP8
ГТ310Д	10		20	10		10	(20...70)				200	TP8
ГТ310Е	10		20	10		10	(60... 180)				200	TP8
ГТ322А	10		50	10			30...100	4			700	TP33

Тип	$I_{кmax}, \text{мА}$	$I_{к, \text{ и } max}, \text{мА}$	$P_{кmax}, \text{мВт}$	$U_{кэр} (U_{кэ}), \text{В}$	$U_{эбmax}, \text{В}$	$f_{эл}, \text{МГц}$	$h_{21э}$	$I_{кб0}, \text{мкА}$	$U_{кэнас}, \text{В}$	$U_{бэнас}, \text{В}$	$R_{лп-с}, \text{С/Вт}$	Корпус (рис.1)
ГТ322Б	10		50	10			50...12	4			700	ТР33
ГТ322В	10		50	10			20... 120	4			700	ТР33
П414	10	30	100	10	1	(60)	(25... 100)	4				ТР34
П414А	10	30	100	10	1	(60)	(60.120)	4				ТР34
П414Б	10	30	100	10	1	(60)	(100...200)	4				ТР34
П415	10	30	100	10	1	(120)	(25...100)	4				ТР34
П415А	10	30	100	10	1	(120)	(60...120)	4				ТР34
П415Б	10	30	100	10	1	(120)	(100...200)	4				ТР34
П422	20		100	10		60	(24...100)	5				ТР35
П423	20		100	10		120	24...10)	5				ТР35
П416	25	120	100	12	3		(25...80)	5	2	0,5		ТР36
П416А	25	120	100	12	3		(60...125)	5	1,7	0,5		ТР36
П416Б	25	120	100	12	3		(90...200)	5	1,7	0,5		ТР36
КТ357А	40	80	100	(6)	3,5		20...100	5	0,3	1		ТР26
КТ357Б	40	80	100	6,0	3,5		60...301	5	0,3	1		ТР26
КТ357В	40	80	100	20	3,5		20...100	5	0,3	1		ТР26
КТ357Г	40	80	100	20	3,5		60...300	5	0,3	1		ТР26
ГТ308А	50	120	150	12	3		25...75	5	1,5	0,45		ТР36

1	2	3	4	5	6	7	8	9	10	11	12	13
ГТ308Б	50	120	150	12	3		50...120	5	1,2	0,45		TP36
ГТ308В	50	120	150	12	3		80...150	5	1,2	0,45		TP36
КТ343А, Б	50	150	150	17	4		30...50	1	0,3			TP2
КТ343В	50	150	150	9	4		30	1	0,3			TP2
КТ361А	50		150	25	4		20...90	1				TP27
КТ361Б	50		150	20	4		50...350	1				TP27
КТ361В	50		150	40	4		40...160	1				TP27
КТ361Г	50		150	35	4		50...350	1				TP27
КТ361Д	50		150	40	4		20...90	1				TP27
КТ361Е	50		150	35	4		50...350	1				TP27
КТ3107А	100	200	300	(45)	5	200	70...140	0,1	0,5	1	420	TP37
КТ3107Б	100	200	300	(45)	5	200	120...220	0,1	0,5	1	420	TP37
КТ3107В	100	200	300	(25)	5	200	70...140	0,1	0,5	1	420	TP37
КТ3107Г	100	200	300	(25)	5	200	120...220	0,1	0,5	1	420	TP37
КТ3107Д	100	200	300	(25)	5	200	180...460	0,1	0,5	1	420	TP37
КТ3107Е	100	200	300	(20)	5	200	120...220	0,1	0,5	1	420	TP37
КТ3107Ж	100	200	300	(20)	5	200	180...460	0,1	0,5	1	420	TP37
КТ3107И	100	200	300	(45)	5	200	180...460	0,1	0,5	1	420	TP37
КТ3107К	100	200	300	(25)	5	200	380...800	0,1	0,5	1	420	TP37
КТ3107Л	190	200	300	(20)	5	200	380...800	0,1	0,5	1	420	TP37
ГТ320А	150	300	200	12	3	80	20...80	10	2	0,5	200	TP36
ГТ320Б	150	300	200	12	3	120	50...120	10	2	0,5	200	TP36
ГТ320В	150	300	200	10	3	200	80...250	10	2	0,5	200	TP36

Тип	$I_{кmax}, \text{мА}$	$I_k, \text{ и } I_{max}, \text{мА}$	$P_{кmax}, \text{мВт}$	$U_{кЭР} (U_{кЭ}), \text{В}$	$U_{ЭБmax}, \text{В}$	$f_{z1}, \text{МГц}$	$h_{21э}$	$I_{кЭ0}, \text{мкА}$	$U_{кЭнас}, \text{В}$	$U_{ЭБнас}, \text{В}$	$R_{Лч-с}, \text{С/Вт}$	Корпус (рис.1)
ГТ321А	200	2000	160	50	4	60	20...60	500	2,5	1,3	250	ТР36
ГТ321Б	200	2000	160	40	4	60	40...120	500	2,5	1,3	250	ТР36
ГТ321В	200	2000	160	50	4	60	80...250	500	2,5	1,3	250	ТР36
ГТ321Г	200	2000	160	40	4	60	20...60	500	2,5	1,3	250	ТР36
ГТ321Д	200	2000	160	40	4	60	40...120	500	2,5	1,3	250	ТР36
ГТ321Е	200	2000	160	40	4	60	80...200	500	2,5	1,3	250	ТР36
КТ345А	200	300	100	(20)	4	350	20...60	500	0,3	1,1	1100	ТР38
КТ345Б	200	300	100	(20)	4	350	50...85	1	0,3	1,1	1100	ТР38
КТ345В	200	300	100	(20)	4	350	70...105	1	0,3	1,1	1100	ТР38
КТ351А	200	400	300	15	5	200	20...80	1	0,6	1,2	400	ТР37
КТ351Б	200	400	300	15	5	200	50...200	1	0,9	1,1	400	ТР37
КТ352А	200	200	300	15	5	200	25...120	1	0,6	1,1	400	ТР37
КТ352Б	200	200	300	15	5	200	70...300	1	0,6	1,1	400	ТР37
КТ3108А	200		300	60	5	250	50...150	1	0,25	1	500	ТР3
КТ3108Б	200		300	45	5	250	50...150	0,2	0,25	1	500	ТР3
КТ3108В	200		300	45	5	300	100...300	0,2	0,25	1	500	ТР3
КТ620А	200		225	20	3		100	0,2	1	1,8	400	ТР2
КТ620Б	200		225	20	3		30...100	5	1	1,8	150	ТР2

КТ644А	600	1000	1000		5		20	5	0,4	1,3	115	TP 12
КТ644Б	600	1000	1000		5		100	0,1	0,4	1,3	115	TP 12
КТ644В	600	1000	1000		5		40	0,1	0,4	1,3	115	TP 12
КТ644Г	600	1000	1000		5		100	0,1	0,4	1,3	115	TP 12
КТ639А	1500	2000	1000		5	80	40...100	0,1	0,5	1,25	115	TP 12
КТ639Б	1500	2000	1000		5	80	63...160	0,1	0,5	1,25	115	TP 12
КТ639В	1500	2000	1000		5	80	100...250	0,1	0,5	1,25	115	TP12
КТ639Г	1500	2000	1000		5	80	40...100	0,1	0,5	1,25	115	TP 12
КТ639Д	1500	2000	1000		5	80	63...160	0,1	0,5	1,25	115	TP 12



Приложение А.2 - Транзисторы мощные низкочастотные

Таблица А.2

Тип	$I_{Kmax}, A$	$U_{KЭР} (U_{KЭ}), B$	$R_{БЭ}, k\Omega$	$P_K, Bт$	$I_B (I_B), A$	$h_{21Э}$	$f_{21}, MГц$	$I_{КБЭ} (I_{КЭР}), мкА$	$U_{KЭнас}, B$	$U_{БЭнас}, B$	$R_{Tr-c}, C/Вт$	Корпус (рис.1)
n-p-n												
КТ807А	0,5	100	1	10	0,2	15...45	5	(5)	1		8	ТР10
КТ807АМ	0,5	100	1	10	0,2	15...45	5	(5)	1		8	ТР10
КТ807Б	0,5	100	1	10	0,2	30...100	5	(5)	1		8	ТР10
КТ807БМ	0,5	100	1	10	0,2	30...100	5	(5)	1		8	ТР10
КТ826А, В	1	700	0,01	15	0,75	5...300		(2)	2,5	2		ТР11
КТ826Б	1	700	0,01	15	0,75	5...300		(2)	2,5	2		ТР11
КТ815А	1,5	40	0,1	10	0,5	40...70	3	0,05				ТР12
КТ815Б	1,5	50	0,1	10	0,5	40...70	3	0,05				ТР12
КТ815В	1,5	70	0,1	10	0,5	40...70	3	0,05				ТР12
КТ815Г	1,5	100	0,1	10	0,5	30...70	3	0,05				ТР12
КТ801А	2	80	0,1	5	0,4	13...50	10	(10)	2			ТР13
КТ801Б	2	60	0,1	5	0,4	30...150	10	(10)	2			ТР13
КТ704А	2,5	500	0,01	15	2	10...100	1	(5)	5	3		ТР14
КТ704Б	2,5	400	0,01	15	2	10...100	1	(5)	5	3		ТР14

КТ704В	2,5	400	0,01	15	2	10...100	1	(5)	5	3		TP14
КТ809А	3	400	0,01	40	1,5	15...100	3	(3)	1,5	2,3	2,5	TP15
КТ817А	3	40	1	25	1	30	0,1		1,5			TP12
КТ817Б	3	45	1	25	1	30	3	0,1	0,6	1,5		TP12
КТ817В	3	60	1	25	1	30	3	0,1	0,6	1,5		TP12
КТ817Г	3	100	1	25	1	30	3	0,1	0,6	1,5		TP12
КТ802А	5			50	1	15	10	60	5		2,5	TP15
КТ805А	5		0,01	30	2	15		(60)	2,5	2,5	3,3	TP15
КТ805АМ	5		0,01	30	2	15		(60)	2,5	2,5	3,3	TP16
КТ805Б	5		0,01	30	2	15		(70)	5	5	3,3	TP15
КТ805БМ, ВМ	5		0,01	30	2	15		(70)	5	5	3,3	TP16
КТ828А	5	800	0,01	50		4	1	5	3	3		TP11
КТ8 28Б	5	600	0,01	50		4	1	5	3	3		TP11
КТ838А	5		0,01	12,5	0,1		1		5	1,5		TP11
КТ840А	6	400	0,1	60	2	10...100	1	3	3	1,6		TP11
КТ840Б	6	350	0,1	60	2	10...100	1	3	3	1,6		TP11
ТК435-10	6	600...800	0,01			8		20	2,5	3	1	TP17
КТ812А	8	700	0,01	50	3	10...125		5	2,5	2,5		TP11
КТ812Б	8	500	0,01	50	3	10...125		5	2,5	2,5		TP11
КТ812В	8	300	0,01	50	3	10...125		5	2,5	2,5		TP11
КТ829А	8	(100)	1	60	0,2	750		(1,5)	2	2,5		TP18
КТ829Б	8	(80)	1	60	0,2	750		(1,5)	2	2,5		TP18
КТ829В	8	(60)	1	60	0,2	750		(1,5)	2	2,5		TP18

Тип	$I_{\text{кmax}}, \text{А}$	$U_{\text{кЭР}} (U_{\text{кЭ}}), \text{В}$	$R_{\text{кЭ}}, \text{кОм}$	$P_{\text{к}}, \text{Вт}$	$I_{\text{Б}} (I_{\text{Б}}), \text{А}$	$h_{210}$	$f_{21}, \text{МГц}$	$I_{\text{кЭВ}} (I_{\text{кЭВ}}), \text{мкА}$	$U_{\text{кЭнас}}, \text{В}$	$U_{\text{Бнас}}, \text{В}$	$R_{\text{ГП-С}}, \text{С/Вт}$	Корпус (рис.1)
КТ829Г	8	(45)	1	60	0,2	750		(15)	2	2,5		ТР18
КТ803А	10	60	0,1	60		10	10	100	2,5			ТР15
КТ808А	10	120	0,01	50	4	10...150	30,5	(3)		2,5		ТР15
КТ819А	10	40	0,1	60	3	15...30	12	1	5	5		ТР16
КТ819Б	10	50	0,1	60	3	20...30	12	1	5	5		ТР16
КТ819В	10	70	0,1	60	3	15...30	12	1	5	5		ТР16
КТ819Г	10	100	0,1	60	3	12...30	12	1	5	5		ТР16
ТК135-16	10	45...540	0,01	50	3,5	10...100	6	10	0,6	1,8		ТР11
ТК335 16	10	300...600	0,01		5	8		20	2,5	3	1,25	ТР17
ТК435-16	10	600...800	0,01		5	8		20	2,5	3	1	ТР17
ТК335-20	12,5	300...600	0,01		5	8		20	2,5	3	1,25	ТР17
ТК435-20	12,5	600...800	0,01		5	8		20	2,5	3	1	ТР17
КТ819АМ	15	40	0,1	100	3	15...30	12	1	2	3		ТР11
КТ819БМ	15	50	0,1	100	3	20...30	12	1	2	3		ТР11
КТ819ВМ	15	70	0,1	100	3	15...30	12	1	2	3		ТР11
КТ819ГМ	15	100	0,1	100	3	12...30	12	1	2	3		ТР11
КТ834А	15	500	0,1	100	3,5	60...1250		(3)	2			ТР11
КТ834Б	15	450	0,1	100	3,5	60...1250		(3)	2			ТР11

KT834B	15	400	0,1	100	3,5	60...1250		(3)	2			TP11
TK135-25	16	45...540	0,01	50	5	10...100	6	10	0,6...2	1,8...2	1,5	TP11
TK335-25	16	300...600	0,1		5	8		20	2,5	3	0,625	TP17
TK435-25	16	600...800	0,01		7,5	8		20	2,5	3	0,65	TP17
KT827A	20	100	1	125	0,5	750...18 000	10	(3)	2	4		TP11
KT827Б	20	80	1	125	0,5	750...18000	10	(3)	2	4		TP11
KT827B	20	60	1	125	0,5	750...18000	10	(3)	2	4		TP11
TK235-32	20	45...540	0,01	68	6,5	10...100	4	10	0,6...2	1,8...2	1,1	TP11
TK335-32	20	300...600	0,01		5	8		20	2,5	3	0,625	TP17
TK435-32	20	600...800	0,01		10	8		20	2,5	3	0,65	TP17
TK235-40	32	45...540	0,01	68	8	10...100	4	10	0,6...2	1,8...2	1,1	TP11
TK335-40	32	300...600	0,01		12	8		20	2,5	3	0,625	TP17
TK235-50	32	45...540	0,01	100	10	10...100	4	10	0,6...2	1,8...2	0,7	TP11
TK235-63	40	45...540	0,01	170	13	10...100	4	10	0,6...2	1,8...2	0,5	TP11
p-n-p												
KT626A	0,5	(45)	0,1	6,5		40...250	45	0,01	1			TP19
KT626Б	0,5	(60)	0,1	6,5		30...100	75	0,15	1			TP19
KT626B	0,5	(80)	0,1	6,5		15...45	45	0,15	1			TP19
KT626Г	0,5	(20)	0,1	6,5		15...60	45	0,15	1			TP19
KT626Д	0,5	(20)	0,1	6,5		40...250	45	0,15	1			TP19
ГТ403А	1	(30)			0,4	(20...60)	0,008	0,05	0,5	0,8		TP20
ГТ403Б	1,25	(30)			0,4	(50...150)	0,008	0,05	0,5	0,8		TP20

Тип	$I_{\text{кmax}}, \text{A}$	$U_{\text{кэр}} (U_{\text{кэ}}), \text{В}$	$R_{\text{БЭ}}, \text{КОм}$	$P_{\text{к}}, \text{Вт}$	$I_{\text{Б}} (I_{\text{э}}), \text{A}$	$h_{21\text{э}}$	$f_{21}, \text{МГц}$	$I_{\text{кБ0}} (I_{\text{кэр}}), \text{мкА}$	$U_{\text{кЭнас}}, \text{В}$	$U_{\text{БЭнас}}, \text{В}$	$R_{\text{лт-с}}, \text{С/Вт}$	Корпус (рис.1)
ГТ403В	1,25	(45)			0,4	(20...60)	0,008	0,05	0,5	0,8		ТР20
ГТ403Г	1,25	(45)			0,4	(50...150)	0,008	0,05	0,5	0,8		ТР20
ГТ403Д	1,25	(45)			0,4	(50...150)	0,008	0,05	0,5	0,8		ТР20
ГТ403Е	1,25	(45)			0,4	30	0,008	0,05	0,5	0,8		ТР20
ГТ403Ж	1,25	(60)			0,4	(20...60)	0,008	0,07	0,5	0,8		ТР20
ГТ403И	1,25	(60)			0,4	30	0,008	0,07	0,5	0,8		ТР20
ГТ403Ю	1,25	(30)			0,4	(30...60)	0,008	0,05	0,5	0,8		ТР20
КТ814А	1,5	(40)	0,1	10	0,5	40	3	0,05	0,6	1,2		ТР12
КТ814Б	1	(50)	0,1	10	0,5	40	3	0,05	0,6	1,2		ТР12
КТ814В	1,5	70	0,1	10	0,5	40	3	0,05	0,6	1,2		ТР12
КТ814Г	1,5	100	0,1	10	0,5	30	3	0,05	0,6	1,2		ТР12
КТ816А	3	40	1	25	1	25	3	0,1	0,6	1,5		ТР12
КТ816Б	3	45	1	25	1	25	3	0,1	0,6	1,5		ТР12
КТ816В	3	60	1	25	1	25	3	0,1	0,6	1,5		ТР12
КТ816Г	3	100	1	25	1	25	3	0,1	0,6	1,5		ТР12
ГТ703А	3,5	20	0,05	15		30...70	0,01	0,5	0,6	1		ТР21
ГТ703Б	3,5	20	0,05	15		50	0,01	0,5	0,6	1		ТР21
ГТ703В	3,5	30	0,05	15		30...70	0,01	0,5	0,6	1		ТР21

ГТ703Г	3,5	30	0,05	15		50...10	0,01	0,5	0,6	1		TP21
ГТ703Д	3,5	40	0,05	15		20...45	0,01	0,5	0,6	1	3	TP21
КТ837А	7	70	0,05	30	1	10...40		0,15	2,5	1,5	3,33	TP16
КТ837Б	7,5	70	0,05	30	1	20...80		0,15	2,5	1,5	3,33	TP16
КТ837В	7,5	70	0,05	30	1	50...150		0,15	2,5	1,5	3,33	TP16
КТ837Г	7,5	55	0,05	30	1	10...40		0,15	0,5	1,5	3,33	TP16
КТ837Д	7,5	55	0,05	30	1	20...80		0,15	0,5	1,5	3,33	TP16
КТ837Е	7,5	55	0,05	30	1	50...150		0,15	0,5	1,5	3,33	TP16
КТ837Ж	7,5	40	0,05	30	1	10...40		0,15	2,5	1,5	3,33	TP16
КТ837И	7,5	40	0,05	30	1	20...80		0,15	2,5	1,5	3,33	TP16
КТ837К	7,5	40	0,05	30	1	50...150		0,15	2,5	1,5	3,33	TP16
КТ837Л	7,5	70	0,05	30	1	10...40		0,15	2,5	1,5	3,33	TP16
КТ837М	7,5	70	0,05	30	1	20...80		0,15	2,5	1,5	3,33	TP16
КТ837Н	7,5	70	0,05	30	1	50...150		0,15	2,5	1,5	3,33	TP16
КТ837П	7,5	55	0,05	30	1	10...40		0,1	0,9	1,5	3,33	TP16
КТ837Р	7,5	55	0,05	30	1	20...80		0,15	0,9	1,5	3,33	TP16
КТ837С	7,5	55	0,05	30	1	50...150		0,15	0,9	1,5	3,33	TP16
КТ837Т	7,5	40	0,05	30	1	10...40		0,15	0,5	1,5	3,33	TP16
КТ837У	7,5	40	0,05	30	1	20...80		0,15	0,5	1,5	3,33	TP16
КТ837Ф	7,5	40	0,05	30	1	50...150		0,15	0,5	1,5	3,33	TP16
КТ810А	10	200	0,1	15	1,5	15		20	0,7	0,8	2,5	TP22
КТ818А	10	40	0,1	60	3	15	7	1	1,5	3		TP16
КТ818Б	10	50	0,1	60	3	20	7	1	2	3		TP16
КТ818В	10	70	0,1	60	3	15	7	1	2	3		TP16

Тип	$I_{к\max}, A$	$U_{кЭР} (U_{кЭ}), B$	$R_{кЭ}, кОм$	$P_{к}, Вт$	$I_{Б} (I_{Э}), A$	$h_{21Э}$	$f_{21}, МГц$	$I_{кЭ0} (I_{кЭР}), мкА$	$U_{кЭнас}, B$	$U_{БЭнас}, B$	$R_{Тг-с}, C/Вт$	Корпус (рис.1)
КТ818Г	10	90		60	3	12	7	1	2	3		ТР16
ГТ806А	15	(75)		30	3	10...100	10	15	0,6	1	2	ТР23
ГТ806Б	15	(100)		30	3	10...100	10	15	0,6	1	2	ТР23
ГТ806В	15	(120)		30	3	10...100	10	15	0,6	1	2	ТР23
ГТ806Г	15	(50)		30	3	10...100	10	15	0,6	1	2	ТР23
ГТ806Д	15	(140)		30	3	10...100	10	15	0,6	1	2	ТР23
КТ818АМ	15	40	0,1	100	3	15	7	1	2	3		ТР11
КТ818БМ	15	50	0,1	100	3	20	7	1	2	3		ТР11
КТ818ВМ	15	70	0,1	100	3	15	7	1	2	3		ТР11
КТ818ГМ	15	90	0,1	100	3	12	7	1	2	3		ТР11
КТ825Г	20	90	1	125	0,5	750			2	3		ТР11
КТ825Д	20	60	1	125	0,5	750			2	3		ТР11
КТ825Е	20	30	1	125	0,5	750			2	3		ТР11

Приложение А.3 - Транзисторы мощные высокочастотные

Таблица А.3

Тип	$I_{кmax}, A$	$P_{кmax}, Вт$	$U_{кЭР} (U_{кЭ}), В$	$U_{ЭБmax}, В$	$R_{вых}, Вт$	$f_{h21}, МГц$	$h_{21Э}$	$I_{кБ0}, мкА(мА)$	$U_{кЭнас}, В$	$U_{БЭнас}, В$	$R_{Тг-с} (R_{Тг-к}), С/Вт$	Корпус (рис.1)
n-p-n												
КТ940А	0,1	1,2	300	5		90	25	0,05	1		104	ТР12
КТ940Б	0,1	1,2	250	5		90	25	0,05	1		104	ТР12
КТ940В	0,1	1,2	160	5		90	25	0,05	1		104	ТР12
КТ969А	0,1	6	250	5		60	50...250	0,05	1		125	ТР12
КТ920А	0,5	5	36	4	2	40	10...100	250	0,75		(20)	ТР39
КТ922А	0,8	8	65	4	5	30	10.150	(5)	0,6		(15)	ТР39
КТ928А	0,8	2	60	5		25	20...100	1	1	1,5		ТР40
КТ928Б	0,8	2	60	5		25	50...250	1	1	1,5		ТР40
КТ929А	0,8	6	30	3	2	40	25...50	(5)			(20)	ТР39
КТ920Б	1	10	36	4	5	40	10...100		0,75		(20)	ТР39
КТ922Б	1,5	20	65	4	20	30	10...150	(40)	0,7		(6)	ТР39
КТ922Г	1,5	20	65	4	17	30	10...150	(40)	0,7		(6)	ТР39
КТ961А	1,5	12,5	100	5		50	40...100	10	0,5		(10)	ТР12
КТ961Б	1,5	12,5	80	5		50	63...160	10	0,5		(10)	ТР12
КТ961В	1,5	12,5	60	5		50	100...250	10	0,5		(10)	ТР12



Тип	$I_{кmax}, A$	$P_{кmax}, Вт$	$U_{кэж} (U_{кэ}), В$	$U_{эбmax}, В$	$R_{вых}, Вт$	$f_{h21}, МГц$	$h_{21э}$	$I_{кв0}, мкА(мА)$	$U_{кэнас}, В$	$U_{эбнас}, В$	$R_{гн-с} (R_{гн-к}), С/Вт$	Корпус (рис.1)
КТ943А	2	25	45	5		30	40...200	100	0,6			ТР12
КТ943Б	2	25	60	5		30	40...160	100	0,6			ТР12
КТ943В	2	25	80	5		30	40...120	100	0,6			ТР12
КТ943Г	2	25	80	5		30	20...60	(1)	1,2			ТР12
КТ943Д	2	25	60	5		30	30...100	(1)	1,2			ТР12
КТ903А	3	30	80	4	10	120	15...70	(10)	2,5	2		ТР15
КТ903Б	3	30	80	4	10	120	40...180	(10)	2,5	2		ТР15
КТ920В	3	25	36	4	20	400	10...100	(7)	0,81		(10)	ТР39
КТ920Г	3	25	36	4	15	350	10...100	(7)	0,9		(10)	ТР39
КТ922В	3	40	65	4	40	300	10...150	(40)	0,6		(3)	ТР39
КТ922Д	3	40	65	4	35	250	10...150	(40)	0,6		(3)	ТР39
КТ921А	3,5	12,5	65	4	12,5	100	10...80	(10)			(6)	ТР41
КТ921Б	3,5	12,5	65	4	12,5	100	10...80	(10)			(6)	ТР41
КТ902А	5	30	110	5	20	35	15	(10)	2	2	(4)	ТР15
КТ908А	10	50	(100)	5		30	8...60	(25)	1,5	2,3		ТР15
КТ908Б	10	50	(60)	5		30	20	(50)	1	2,3		ТР15
КТ927А	10	83	(70)	3,5	75	100	15...20	(40)	0,7		(1,5)	ТР42
КТ927Б	10	83	(70)	3,5	75	100	25...75	(40)	0,7		(1,5)	ТР42
КТ927В	10	83	(70)	3,5	75	100	40...100	(40)	0,7		(1,5)	ТР42

KT958A	10	85	36	4	40	300	10...250	(28)	0,15		(1,4)	TP43
KT944A	12,5	55	100	5	100	100	10...80	(80)	2,5		(1,7)	TP44
KT926A	15	50	150	5		50	10...60	(25)	2,5	2,5	(2)	TP45
KT926B	15	50	150	5		50	10...60	(25)	2,5	2,5	(2)	TP45
KT931A	15	120	60	4	80	250	5...100	(30)	0,16		(0,8)	TP43
KT945A	15	50	150	5		50	10...60	(25)	2,5	3		TP11
KT956A	15	50	100	4	100	100	10...80	(80)			(1,7)	TP46
KT967A	15	100	36	4	90	200	10...100	(20)			(1,7)	TP46
KT912A	20	35	70	5	70	100	10...50	(75)			(1,4)	TP47
KT912B	20	35	70	5	70	100	20...100	(75)			(1,4)	TP47
KT935A	20	60	80	6		50	20...100	(30)				TP45
KT947A	20	200	100	5	250	100	10...80	(100)			(0,8)	TP44
KT957A	20	100	60	4	125	100	10...80	(100)			(1,4)	TP46
p-n-p												
KT933A	0,5	5	(80)	4,5		75	15...80	500	1,5		125	TP15
KT933B	0,5	5	(60)	4,5		75	30...120	500	1,5		125	TP15
KT932A	2	20	(80)	4,5		80	15...80	(80)	1,5		42	TP11
KT932B	2	20	(60)	4,5		80	30...120	(60)	1,5		42	TP11
KT932B	2	20	(40)	4,5		80	40	(4)	1,5		42	TP11
ГТ905А	3	6	75			75	35...100	(2)	0,5	0,7	50	TP48
ГТ905Б	3	6	60			75	35...100	(2)	0,5	0,7	50	TP48
ГТ906А	6	15	(75)				30...150	(8)	0,5	0,7	50	TP49
ГТ906АМ	6	15	(75)				30...150	(8)	0,5	0,7	50	TP48

## ДОДАТОК Б. Резистори

### Б.1 СИСТЕМА УМОВНИХ ПОЗНАЧЕНЬ

Відповідно до нової діючої системи скорочене позначення складається з трьох елементів (табл.1).

Таблиця 1  
Система умовних позначень

Елемент			Приклад позначення
перший	другий	третій	
Р - резистори постійні; РП – резистори змінні	1 – недротяні; 2 – дротяні, метало-фольгові	Порядковий номер розробки конкретного типу резистора	Р1-26 (постійний недротяний резистор з порядковим номером розробки 26)
ТР – терморезистори з негативним ТКС; ТРП – терморезистори з позитивним ТКС	Напівпровідникові матеріали не позначаються	Порядковий номер розробки	ТР-7 (терморезистор з негативним ТКС з порядковим номером розробки 7)
ВР – варистори постійні; ВРП – варистори змінні	Напівпровідникові матеріали не позначаються	Порядковий номер розробки	ВРП-14 (варистор змінний з порядковим номером розробки 14)

У старій системі перший елемент позначався інакше (С – резистори постійні; СП – резистори змінні; СТ – терморезистори; СН - варистори). Другий елемент, як і в новій системі, був цифровим, але з докладнішою деталізацією по вигляду матеріалу резистивного елемента (1 – вуглеродні і боровуглеродні; 2 – металодиелектричні і металоокисні; 3 – композиційні об'ємні; 4 - композиційні об'ємні; 5 - дротяні).

На резистори наноситься буквено-цифрова маркіровка. Вона містить: номінальну потужність, номінальний опір, допуск і дату виготовлення. Номінальний опір позначається цифрами з указаним одиниці вимірювання: Ом (R або E по-старому або взагалі без букви) – Оми, кОм (К-колооми), МОм (М - мегаоми), ГОм (G - гігаоми), ТОм (Т - тераоми). Наприклад: 220 Ом, 680 кОм,

3,3 МОм, 4,7 ГОм, 1 ТОм, або 220R, 680 K, 3 M3, 4G7, 1 ТОм (в цьому випадку буква позначає множник 1, 103, 106, 109, 1012 і визначається положення коми десяткового знаку). Повне позначення допуску складається з цифр, а кодоване – з букв. Для найбільш поширених допусків використовується наступне кодування:  $\pm 20\%$  - M;  $\pm 10\%$  - K;  $\pm 5\%$  - I;  $\pm 2\%$  - G;  $\pm 1\%$  - F;  $\pm 0,5\%$  - D;  $\pm 0,25\%$  - C;  $\pm 0,1\%$  - B.

## Б.2 ПАРАМЕТРИ РЕЗИСТОРІВ

**Номінальна потужність і гранична напруга.** Під номінальною потужністю ( $P_H$ ) розуміється найбільша потужність, яку резистор може розсіювати в заданих умовах протягом гарантованого терміну служби (напрацювання) при збереженні параметрів у встановлених межах. Потужність розсіювання залежить від конструкції резисторів, фізичних властивостей матеріалів і температури навколишнього середовища. Зазвичай для кожного конкретного типу резистора приводять залежність допустимої потужності від температури середовища (рис. 2), по якому вибирається електричне навантаження.

Конкретні значення номінальних потужностей розсіювання у ватах встановлюються згідно ДСТУ 24013-80 і ДСТУ 10318-80 і вибираються з ряду: 0,01; 0,025; 0,05; 0,062; 0,125; 0,25; 0,5; 1; 2; 3; 4; 5; 8; 10; 16; 25; 40; 63; 80; 100; 250; 500.

Робоча напруга резистора не повинна перевищувати значення, розрахованого виходячи з номінальної потужності  $P_H$  і номінального опору  $R_H U \leq \sqrt{P_H \cdot R_H}$ . Проте при великих номінальних опорах ця напруга може досягати таких значень, при яких можливі пробіи. Тому для кожного типу резистора, з урахуванням його конструкції, встановлюється гранична робоча напруга  $U_{\text{ПРЕД}}$ .

**Номинальний опір і допуск.** Номинальний опір ( $R_H$ ) – електричний опір, значення якого позначене на резисторі або вказане в нормативній документації не є початковим для рахунку відхилень від цього значення.

Номинальні опори резисторів стандартизовані. Для постійних резисторів згідно ДСТУ 2825-67 встановлено шість рядів: E6, E12, E24, E48, E96, E192, а для змінних резисторів відповідно до ДСТУ 10318-80 встановлений ряд E6. цифра після букви E вказує число номинальних значень в кожному десятичному інтервалі (табл. 2).

Таблиця 2 – Номинальні опори по рядах

Ряд	Числові коефіцієнти
E6	1; 1,5; 2,2; 3,3; 4,7; 6,8
E12	1; 1,2; 1,5; 1,8; 2,2; 2,7; 3,3; 3,9; 4,7; 5,6; 6,8; 8,2
E24	1; 1,1; 1,2; 1,3; 1,5; 1,6; 1,8; 2; 2,2; 2,4; 2,7; 3; 3,3; 3,6; 3,9; 4,3; 4,7; 5,1; 5,6; 6,2; 6,8; 7,5; 8,2; 9,1

Номинальні опори в кожній декаді відповідають вказаним в таблиці числам або числам, отриманим множенням або діленням їх на  $10^n$ , де  $n$  – ціле позитивне або негативне число.

Дійсні значення опорів резисторів унаслідок погрешностей виготовлення можуть відрізнятися від номинальних. Різниця між номинальними і дійсними опорами, виражена у відсотках по відношенню до номинального опору, називається відхиленням від номинального опору або, стисло, допуском, що допускається. Згідно ДСТУ 9664-74 встановлений ряд допусків:  $\pm 0,001$ ;  $\pm 0,002$ ;  $\pm 0,005$ ;  $\pm 0,01$ ;  $\pm 0,02$ ;  $\pm 0,05$ ;  $\pm 0,1$ ;  $\pm 0,25$ ;  $\pm 0,5$ ;  $\pm 1$ ;  $\pm 2$ ;  $\pm 5$ ;  $\pm 10$ ;  $\pm 20$ ;  $\pm 30\%$ .

**Температурний коефіцієнт опору.** Температурним коефіцієнтом опору (ТКО) називається величина, що характеризує відносну зміну опору на один градус Кульвіна або Цельсія. ТКО характеризує оборотну зміну опору резистивного елементу внаслідок зміни температури навколишнього середовища або зміни електричного навантаження. Чим менше ТКО, тим кращою температурною стабільністю володіє резистор. Значення ТКО

прецизійних резисторів лежать в межах від одиниці до  $\pm 100 \cdot 10^{-6} 1/^\circ C$ , а резисторів загального призначення – від десятків до  $\pm 2000 \cdot 10^{-6} 1/^\circ C$ .

**Шуми резисторів.** Розрізняють власні шуми і шуми скальжіння.

*Власні шуми* резисторів складаються з теплових і струмових шумів. Їх виникнення пов'язане з тепловим рухом вільних електронів і проходженням електричного струму. Власні шуми резисторів чим вище, тим більше температура і напруга. Високий рівень шумів резисторів обмежує чутливість електронних схем і створює перешкоди при відтворенні корисного сигналу.

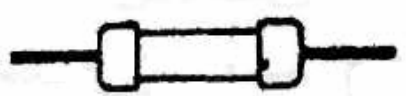
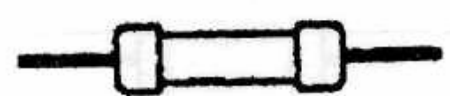
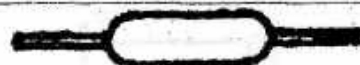
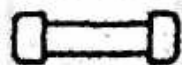
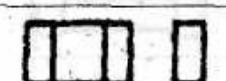
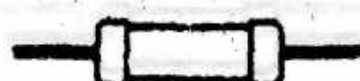
Власні шуми резисторів вимірюють діючим значенням, ЕДС шумів і виражають в мікровольт на вольт прикладеної напруги. Значення ЕДС шумів більшості типів недротяних резисторів від долей одиниць до десятків мікровольт на вольт. Виняток становлять лакопленочные і об'ємні композиційні резистори, у яких ЕДС шумів може досягати сотень мікровольт на вольт.

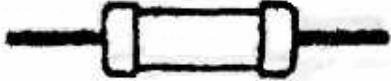
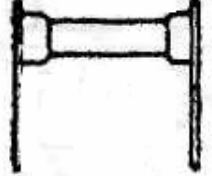


*Шуми скальжений* (обертання) властиві змінним резисторам. Вони виникають в динамічному режимі при русі рухомого контакту по резистивному елементу у вигляді напруги перешкод. У приймальних пристроях ці перешкоди приводять до різних шорохів і тріскам. Рівень шумів переміщення значно перевищує рівень теплових і струмових шумів. Навіть для порівняно хороших недротяних змінних резисторів напруга шумів обертання може досягати десятків мілівольт (15.50 мВ).

**Функціональна характеристика.** Вона визначає залежність опору змінного резистора від положення рухомого контакту. Найбільш поширені залежності – лінійна А, логарифмічна Б і обертологічна В (рис.3).

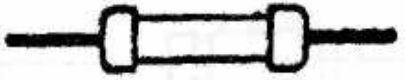
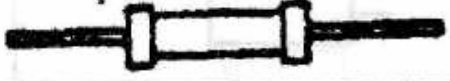
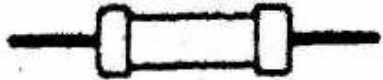
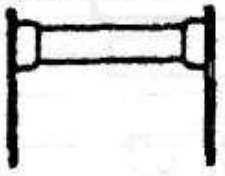
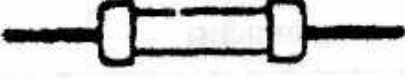
Приложение Б.3 - Постоянные непроволочные резисторы

Таблица Б.3

Тип	Номинальная мощность, В (при t C)	Диапазон номинальных сопротивлений	Ряд промежуточных значений, допуск	Внешний вид
1	2	3	4	5
Общего назначения				
C2-33H	0,125 (85) 0,25 (85) 0,5 (85) 1 (85) 2 (85)	1 Ом...3 МОм 1 Ом...5,1 МОм 1 Ом...5,1 МОм 1 Ом...10 МОм 1 Ом...10 МОм	E24, E96 с допусками ±1; ±2; ±5; ±10%	
MJT	0,125 (70) 0,25 (70) 0,5 (70) 1 (70) 2 (70)	8,2 Ом...3 МОм 8,2 Ом...5,1 МОм 1 Ом...5,1 МОм 1 Ом...10 МОм 1 Ом...10 МОм	E24, E96 с допусками ±2; ±5; ±10%	
P1-4	0,25 (70) 0,5 (85)	10 Ом...1 МОм 1 Ом...10 МОм	E24, E96 с допусками ±1; ±2; ±5%	
P1-11	0,25 (70)	1 Ом...3 МОм	E24 с доп. ±1; ±2; ±5; ±10%	
P1-12	0,125 (70)	1 Ом...6,8 МОм	E24 с доп. ±5; ±10; ±20%	
C1-4	0,125 (70) 0,25 (70) 0,5 (70)	10 Ом...2 МОм 10 Ом...МОм 10 Ом...10 МОм	E24, E48 с допусками ±2; ±5; ±10%	

1	2	3	4	5
BCa	0,125 (70) 0,25 (70) 0,5 (70)	10 Ом...2 МОм 27 Ом...2,2 МОм 27 Ом...10 МОм	Е24 с допускaми $\pm 5; \pm 10; \pm 20\%$	
BC	1 (40) 2 (40) 5 (40) 10 (40)	47 Ом...10 МОм 47 Ом...10 МОм 47 Ом...10 МОм 75 Ом...10 МОм	Е24, Е48 с допускaми $\pm 5; \pm 10; \pm 20\%$	
C4-2	0,25 (85) 0,5 (85) 1 (85) 2 (85)	10 кОм...5,1 МОм 10 кОм...10 МОм 10 кОм...10 МОм 10 кОм...10 МОм	Е24 с допускaми $\pm 5; \pm 10; \pm 20\%$	
TBO	0,125 (85) 0,25 (85) 0,5 (85) 1 (85) 2 (85) 5 (85) 10(85) 20(85) 60 (85)	1 Ом...100 кОм 1 Ом...510 кОм 1 Ом...1 МОм 1 Ом...1 МОм 1 Ом...1 МОм 27 Ом...1 МОм 27 Ом...1 МОм 24 Ом...100 кОм 24 Ом...100 кОм	Е24 с допускaми $\pm 5; \pm 10; \pm 20\%$	

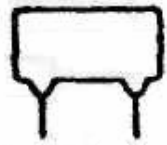
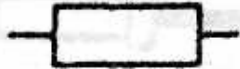
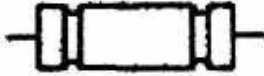


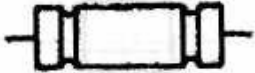
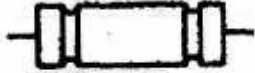



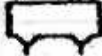

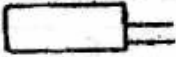
1	2	3	4	5
Прецизионные				
C2-29B	0,062 (85) 0,125 (85) 0,25 (85) 0,5 (85) 1 (85) 2 (85)	10 Ом...511 кОм 1 Ом...1 МОм 1 Ом...2,2 МОм 1 Ом...3 МОм 1 Ом...8,5 МОм 1 Ом...20 МОм	E24, E192 с допусками $\pm 0,05$ ; $\pm 0,1$ ; $\pm 0,25$ ; $\pm 0,5$ ; $\pm 1\%$	
C2-36	0,125 (70)	10 Ом...2,2 МОм	E192 с доп. $\pm 0,5$ ; $\pm 1\%$	
C2-14	0,125 (85) 0,25 (85) 0,5 (85) 1 (85) 2 (85)	10 Ом...1 МОм 1 Ом...1 МОм 1 Ом...2,2 МОм 1 Ом...3 МОм 1 Ом...5,1 МОм	E192 с допусками $\pm 0,1$ ; $\pm 0,25$ ; $\pm 0,5$ ; $\pm 1\%$	
БЛП	0,1 (70) 0,25 (70) 0,5 (70) 1 (70)	1 Ом...100 кОм 1 Ом...100 кОм 1 Ом...100 кОм 1 Ом...100 кОм	E192 с допусками $\pm 0,5$ ; $\pm 1\%$	
БЛПа	0,1 (70) 0,25 (70) 0,5 (70) 1 (70)	1 Ом...100 кОм 1 Ом...100 кОм 1 Ом...100 кОм 1 Ом...100 кОм	E192 с допусками $\pm 0,5$ ; $\pm 1\%$	

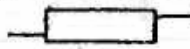
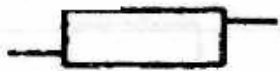

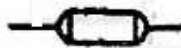
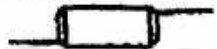
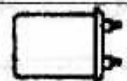
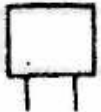
Приложение В.1

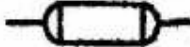
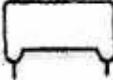
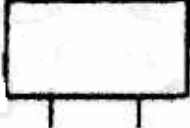

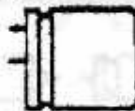
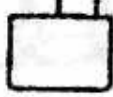
Таблица В.1

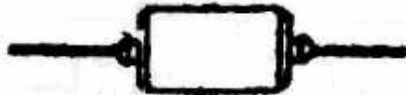

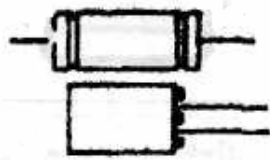
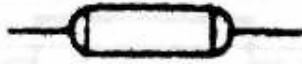
Конденсаторы с ограниченным диэлектриком

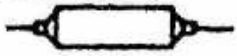
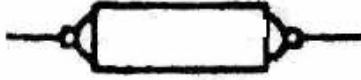
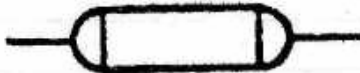
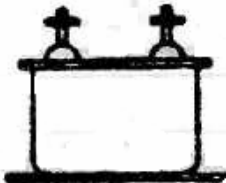
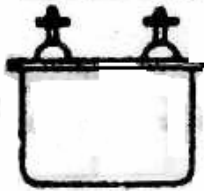
Тип	Номинальное напряжение, В	Диапазон номинальных емкостей, мкФ	Допуск, % (ряд промежуточных емкостей)	Внешний вид
1	2	3	4	5
<b>Полиэтилентерефталатные низковольтные</b>				
K73-5	250	0,001...0,22	±5; ±10; ±20 (ряд E6)	
K73-9	100	0,001...0,47	±5; ±10; ±20 (ряд E6)	
	200	0,0027...0,33		
	400	0,001...0,15		
	630	0,00047...0,1		
K73-11	63	0,1...2,2	±5; ±10; ±20 (ряд E6)	
	160	0,068...6,8		
	250	0,00047...0,22		
	400	0,022...1		
	630	0,001...0,47		
K73-15	100	0,015...0,47	±5; ±10; ±20 (ряд E6)	
	160	0,0047...0,33		
	250	0,0033...0,22		
	400	0,0022...0,22		
	630	0,00047...0,15		

K73-16	63	0,1...22	$\pm 5; \pm 10; \pm 20$ (ряд E6)	
	100	0,1...12		
	160	0,047...6,8		
	250	0,047...10		
K73-16	400	0,022...1		
	630	0,01...0,47		
	1000	0,01...0,22		
	1600	0,0047...0,1		
K73-17	63	0,22...4,7	$\pm 5; \pm 10; \pm 20$ (ряд E6)	
	160	1,5...2,2		
	250	0,047...1		
	400	0,022...1		
	630	0,01...0,47		
K73-20	630	0,0051	$\pm 5; \pm 10; \pm 20$ (ряд E6)	
K73-22	630	0,01...0,047	$\pm 5; \pm 10; \pm 20$ (ряд E6)	
K73-24	100	0,033...0,27	$\pm 5; \pm 10; \pm 20$ (ряд E6)	
	250	0,001...0,027		
	100	0,01...0,27		
	250	0,001...0,0068		
K73-26	63	33... 150	$\pm 5; \pm 10; \pm 20$ (ряд E6)	
	100	15...100		

1	2	3	4	5
<b>Полиэтиленерефталатные высоковольтные</b>				
К73-12	10000	0,0047...0,022	±10	
	30000	0,003		
К73-13	10000	2200		
К73-14	4000	0,0033...0,1	±5; ±10; ±20 (ряд Е6)	
	10000	0,0022...0,022		
	16000	0,00047...0,01		
	25000	0,00047...0,0033		
К74-7	16000	0,00015...0,00039	±20 (ряд Е6)	
<b>Полистирольные</b>				
ПМ-1	63	0,0001...0,01	±10; ±20 (ряд Е12)	
ПМ-2	63	0,0001...0,01	±5; ±10; ±20 (ряд Е24)	
К70-6	35	0,018...0,1	±1; ±2; ±5 (ряд Е12)	
	65	0,000022...0,015		
К70-7	100	0,001...0,5	±0,25; ±0,5; ±1; ±2	
	250	0,001...0,134		
	100	0,001...0,5	(заданная емкость)	
	250	0,001...0,134		
	350	0,00015...0,175		

K71-4	160	1,2...10	±0,5; ±1; ±2; ±5; ±10 (ряд E24 вар. "а", E192 вар. "б") ±0,5; ±1; ±2; ±5 (заданная емкость)	
	250	0,01...1		
	250	0,00033...0,01		
	300	0,0000051...0,0003		
K71-6	200	0,0121...0,2		
	250	0,000612...0,012		
	300	0,0001...0,00064		
K71-7	250	0,001...0,5		
Полипропиленовые				
K78-2	250	0,068...2,2	±5; ±10; ±20 (ряд E6)	
	300	0,01...0,1		
	1000	0,001...0,1		
	1600	0,001...0,056		
	2000	0,001...0,015		
K78-3	630	0,27...0,56	±5; ±10; ±20 (ряд E6)	
K78-4	160	3,3...68	±10; ±20 (ряд E6)	
	250	2,2...33		
	500	0,47...10		
K78-5	2000	0,00047...0,047	±5; ±10; ±20 (ряд E6)	

1	2	3	4	5
К76-24	400	0,1,4,7	±5; ±10; ±20 (ряд Е6)	
	630	0,1...4,7		
	1000	0,1...2,2		
	1600	0,1,1,5		
Поликарбонатные				
К77-1	63	0,22...22	±5; ±10; ±20 (до 0,82 мкФ) ±2; ±5; ±10; ±20 (от 1 до 4,7 мкФ) ±0,5; ±1; ±2; ±5; ±10; ±20 (более 5,6 мкФ)(ряд Е12)	
	100	0,1...3,9		
	200	0,022...3,9		
	400	0,001...1		
К77-2	63	0,056...0,33	±5; ±10; ±20 (до 0,39 мкФ) ±2; ±5; ±10; ±20 (более 0,39 мкФ) (ряд Е12)	
	100	0,01...0,047		
	63	0,056...2,2		
	100	0,01...0,047		
Бумажные				
БМ-2	160	0,033...0,047	±5; ±10; ±20 (ряд Е6)	
	200	0,0033...0,022		
	300	0,00047...0,0022		

К40П-2	400	0,001...0,01 0,015...0,047	$\pm 5; \pm 10; \pm 20$ (ряд Е6)	
К40У-9	200	0,00047... 1	$\pm 10; \pm 20$ (ряд Е6)	
	400	0,0047...68		
	630	0,00047... 0,47		
	1000	0,001...0,22		
Металлобумажные				
МБМ	160	0,05; 0,1; 0,25	$\pm 10; \pm 20$	
	250	0,5; 1		
	500	0,025; 0,05; 0,1; 0,25; 0,5		
	750	0,01; 0,025; 0,05; 0,1; 0,25		
	1000	0,01; 0,025; 0,05; 0,1; 0,0051; 0,01; 0,025; 0,05;		
1500	0,1			
МБГО	160	2; 4; 10; 20; 30	$\pm 10; \pm 20$	
	300	1; 2; 4; 10; 20; 30		
	400	1; 2; 4; 10; 20		
	500	0,5; 1; 2; 4; 10; 20		
	630	0,25; 0,5; 1; 2; 4; 10		
МБГП (одно- секцион- ные)	200	0,5; 1; 2; 4; 10; 20	$\pm 10; \pm 20$	
	400	0,25; 0,5; 1; 2; 4; 10		
	630	0,1; 0,25; 0,5; 1; 2; 4; 10		
	1000	0,5; 1; 2; 4; 10		
	1600	0,25; 0,5; 1; 2; 4; 20		



Приложение Г - Выпрямительные диоды

Таблица Г.1

Тип	$I_{пр.ср.}$ , А	$U_{обр.и.п}$ $U_{обр.мах}$ , В	$I_{пр.и}$ ( $I_{пр.}$ ; $I_{пр.ср.}$ ), А	$I_{обр.и}$ ( $I_{обр.}$ ; $I_{обр.ср.}$ ), мА	$f_{мах}$ ( $f_{мах}$ ) - без снижения электрического режима, кГц	Корпус (рис. 1)
Маломощные (на ток до 1 А)						
АД110А	0,01	50	(0,01)	(0,005)	(1000)	Д2
КД104А	0,01	300	(0,01)	(0,003)	(10)	Д3
ГД113А	0,15	115	(0,03)	(0,25)		Д1
ГД107А	0,02	(15)	(0,01)	(0,02)		Д1
ГД107Б	0,02	(20)	(0,0015)	(0,1)		Д1
Д106	0,03	30	(0,002)	(0,005)	(150)	Д4
Д106А	0,03	30	(0,001)	(0,005)	(150)	Д4
Д105	0,03	75	(0,002)	(0,005)	(150)	Д4
Д105А	0,03	75	(0,001)	(0,005)	(150)	Д4
Д104	0,03	100	(0,02)	(0,005)	(150)	Д4
Д104А	0,03	100	(0,001)	(0,005)	(150)	Д4
Д223	0,05	(50)	(0,05)	(0,001)		Д4
Д223А	0,05	(100)	(0,05)	(0,001)		Д4
Д223Б	0,05	(150)	(0,05)	(0,001)		Д4
КД103А	0,1	(50)	(0,05)	(0,001)	(20)	Д3
КД103Б	0,1	(50)	(0,05)	(0,001)	(20)	Д3
КД102А	0,1	(250)	(0,05)	(0,0001)	5	Д3
КД102Б	0,1	(300)	(0,05)	(0,001)	5	Д3



Тип	$I_{пр.ср.}$ , А	$U_{обр. и. П}$ $U_{обр. max}$ ), В	$I_{пр. и}$ ( $I_{пр.}$ ; $I_{пр.ср.}$ ), А	$I_{обр. и}$ ( $I_{обр.}$ ; $I_{обр.ср.}$ ), мА	$f_{max}$ ( $f_{max}$ ) - без снижения электрического режима, кГц	Корпус (рис. 1)
Д273В	0,1	600	(0,1)	(0,05)	(1)	Д5
МД217	0,1	800	(0,1)	(0,05)	(1)	Д5
МД218	0,1	1000	(0,1)	(0,05)	(1)	Д5
МД218А	0,1	1200	(0,1)	(0,05)	(1)	Д5
АД112А	0,3	(50)	(0,3)	(0,1)		Д6
КД106А	0,3	(100)	(0,3)	(0,01)	(30)	Д7
КД109А	0,3	100	(0,3)	(0,1)		Д8
МД226Е	0,3	200	(0,3)	(0,05)	(1)	Д5
Д226Е	0,3	200	(0,3)	(0,05)	(1)	Д5
Д237А	0,3	200	(0,3)	(0,05)	(1)	Д5
МД226А	0,3	300	(0,3)	(0,05)	(1)	Д5
Д226А	0,3	300	(0,3)	(0,05)	(1)	Д5
КД109Б	0,3	300	(0,3)	(0,1)		Д8
МД226	0,3	400	(0,3)	(0,05)	(1)	Д5
Д226	0,3	400	(0,3)	(0,05)	(1)	Д5
Д237Б	0,3	400	(0,3)	(0,05)	(1)	Д5
КД105Б	0,3	400	(0,3)	(0,1)	(1)	Д9
КД221В	0,3	400	(0,3)	(0,1)	(1)	Д10
КД205Е	0,3	500	(0,3)	(0,1)	(5)	Д11
КД105В	0,3	600	(0,3)	(0,1)	(1)	Д9
КД109В	0,3	600	(0,3)	(0,1)		Д8

КД221Г	0,3	600	(0,3)	(0,15)	(1)	Д10
КД205И	0,3	700	(0,3)	(0,1)	(5)	Д11
КД105Г	0,3	800	(0,4)	(0,1)	(1)	Д9
Д229В	0,4	100	(0,4)	(0,05)	(1)	Д12
Д229А	0,4	200	(0,4)	(0,05)	(1)	Д12
Д229Г	0,4	200	(0,4)	(0,05)	(1)	Д12
Д237Е	0,4	200	(0,4)	(0,05)	(1)	Д5
Д229Д	0,4	300	(0,4)	(0,05)	(1)	Д12
Д229Б	0,4	400	(0,4)	(0,05)	(1)	Д12
Д229Е	0,4	400	(0,4)	(0,05)	(1)	Д12
Д237Ж	0,4	400	(0,6)	(0,05)	(1)	Д5
КД204А	0,4	400	(0,5)	(0,15)	50	Д13
КД205Д	0,5	100	(0,5)	(0,1)	(5)	Д11
КД205Г	0,5	200	(0,5)	(0,1)	(5)	Д11
КД221Б	0,5	200	(0,5)	(0,05)	(1)	Д10
КД205В	0,5	300	(0,5)	(0,1)	(5)	Д11
КД205Б	0,5	400	(0,5)	(0,1)	(5)	Д11
КД205А	0,5	500	(0,5)	(0,1)	(5)	Д11
КД205Ж	0,5	600	(0,5)	(0,1)	(5)	Д11
КД209Б	0,5	600	(0,5)	(0,1)	(1)	Д9
КД209В	0,5	800	(0,6)	(0,1)	(1)	Д9
КД204Б	0,6	200	(0,7)	(0,1)	50	Д13
Д229Ж	0,7	100	(0,7)	(0,05)	(1)	Д12
КД205К	0,7	100	(0,7)	(0,1)	(5)	Д11
КД221А	0,7	100	(0,7)	(0,05)	(1)	Д10

Тип	$I_{пр.ср.}$ , А	$U_{обр. и. П}$ $U_{обр. max}$ ), В	$I_{пр. и}$ ( $I_{пр.}$ ; $I_{пр.ср.}$ ), А	$I_{обр. и}$ ( $I_{обр.}$ ; $I_{обр.ср.}$ ), мА	$f_{max}$ ( $f_{max}$ ) - без снижения электрического режима, кГц	Корпус (рис. 1)
КД205Л	0,7	200	(0,7)	(0,1)	(5)	Д11
Д229И	0,7	200	(0,7)	(0,05)	(1)	Д12
Д229К	0,7	300	(0,7)	(0,05)	(1)	Д12
Д229Л	0,7	400	(0,7)	(0,05)	(1)	Д12
КД209А	0,7	400	(0,7)	(0,1)	(1)	Д9
Средней мощности (на ток от 1 до 10 А)						
КД204В	1	50	2	(0,05)	50	Д13
КД212В	1	100	(1)	(0,05)	(100)	Д14
КД212Г	1	100	(1)	(0,1)	(100)	Д14
Д302	1	200	(1)	(0,8)	(5)	Д15
КД212А	1	200	(1)	(0,05)	(100)	Д14
КД212Б	1	200	(1)	(0,1)	(100)	Д14
КД208А	1,5	100	(1)	(0,1)	(1)	Д9
КД226А	1,7	100	(1,7)	(0,05)	35	Д10
КД226Б	1,7	200	(1,7)	(0,05)	35	Д10
КД226В	1,7	400	(1,7)	(0,05)	35	Д10
КД226Г	1,7	600	(1,7)	(0,05)	35	Д10
КД226Д	1,7	800	(1,7)	(0,05)	35	Д10
Д303	3	150	(3)	(1)	(5)	Д15
КД202А	5	50	(5)	(0,8)	5	Д16
КД202В	5	100	(5)	(0,8)	5	Д16

Д214В	5	100	(5)	(3)	(1,1)	Д17
Д242Б	5	100	(5)	(3)	(1,1)	Д17
Д304	5	100	(5)	(2)	(5)	Д15
Д215Б	5	200	(5)	(3)	(1,1)	Д17
Д243Б	5	200	(5)	(3)	(1,1)	Д17
КД202Д	5	200	(5)	(0,8)	5	Д16
КД202Ж	5	300	(5)	(0,8)	5	Д16
Д231Б	5	300	(5)	(3)	(1,1)	Д17
Д245Б	5	300	(5)	(3)	(1,1)	Д17
Д232Б	5	400	(5)	(3)	(1,1)	Д17
Д246Б	5	400	(5)	(3)	(1,1)	Д17
КД202К	5	400	(5)	(0,8)	(5)	Д16
Д233Б	5	500	(5)	(3)	(1,1)	Д17
Д247Б	5	500	(5)	(3)	(1,1)	Д17
КД202М	5	500	(5)	(0,8)	5	Д16
Д234Б	5	600	(5)	(3)	(1,1)	Д17
Д248Б	5	600	(5)	(3)	(1,1)	Д17
КД202Р	5	600	(5)	(0,8)	5	Д16
КД210А	5	800	(10)	(1,5)	5	Д13
КД210Г	5	1000	(10)	(1,5)	5	Д13
Д305	10	50	(10)	(2,5)	(5)	Д15
Д214	10	100	(10)	(3)	(1,1)	Д17
Д214А	10	100	(10)	(3)	(1,1)	Д17
Д242	10	100	(10)	(3)	(1,1)	Д17
Д242А	10	100	(10)	(3)	(1,1)	Д17

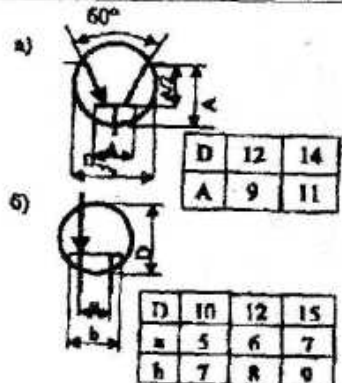
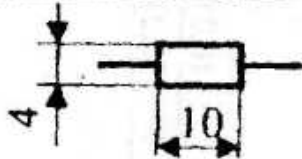
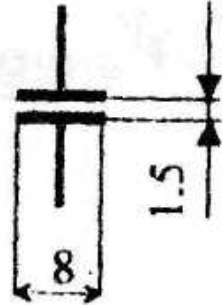
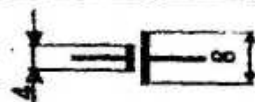
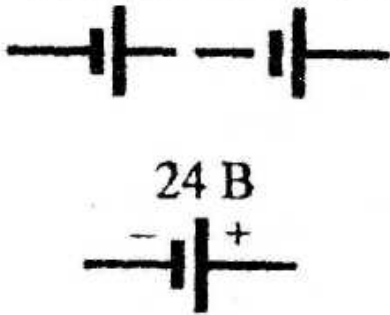


Тип	I <sub>пр.ср.</sub> , А	U <sub>обр. и. П</sub> U <sub>обр. max</sub> ), В	I <sub>пр. и</sub> (I <sub>пр.</sub> ; I <sub>пр.ср.</sub> ), А	I <sub>обр. и</sub> (I <sub>обр.</sub> ; I <sub>обр.ср.</sub> ), мА	f <sub>max</sub> (f <sub>max</sub> ) - без снижения электрического режима, кГц	Корпус (рис. 1)
КД213Г	10	100	(10)	(0,2)	(100)	Д18
Д104-10	10	100	31,4	1	1,3	Д19
Д204-10	10	100	31,4	1	1,3	Д20
Д112-10-1...14	10	100...1400	31,4	0,4	2	Д21
Д215	10	200	(10)	(3)	(1,1)	Д17
Д215А	10	200	(10)	(3)	(1,1)	Д17
Д243	10	200	(10)	(3)	(1,1)	Д17
Д243А	10	200	(10)	(3)	(1,1)	Д17
КД213А	10	200	(10)	(0,2)	(100)	Д18
КД213Б	10	200	(10)	(0,2)	(100)	Д18
КД213В	10	200	(10)	(0,2)	(100)	Д18
Д231	10	300	(10)	(3)	(1,1)	Д17
Д231А	10	300	(10)	(3)	(1,1)	Д17
Д245	10	300	(10)	(3)	(1,1)	Д17
Д245А	10	300	(10)	(3)	(1,1)	Д17
Д232	10	400	(10)	(3)	(1,1)	Д17
Д232А	10	400	(10)	(3)	(1,1)	Д17
Д246	10	400	(10)	(3)	(1,1)	Д17
Д246А	10	400	(10)	(3)	(1,1)	Д17
КД206А	10	400	(1)	(0,7)	20	Д13
ДЛ112-10-4...15	10	400...1500	31,4	0,4	2	Д21


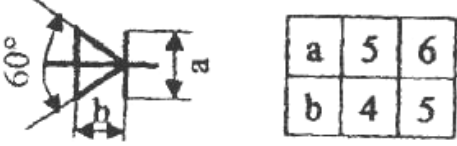


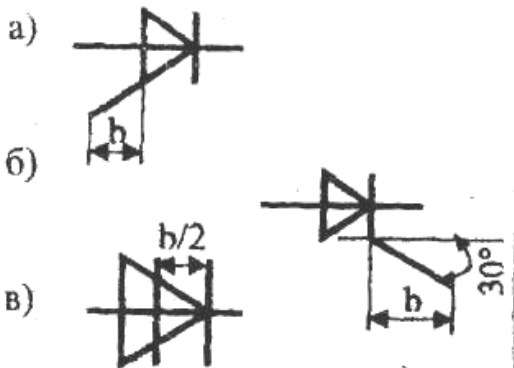
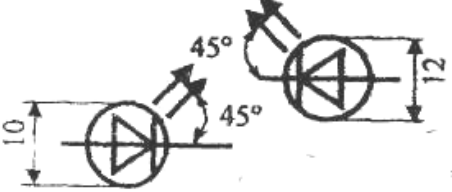

Д233	10	500	(10)	(3)	(1,1)	Д17
Д247	10	500	(10)	(3)	(1,1)	Д17
КД206Б	10	500	(1)	(0,7)	20	Д13
КД203А	10	600	(10)	(1,5)	5	Д17
КД206В	10	600	(1)	(0,7)	20	Д13
КД203Б	10	800	(10)	(1,5)	5	Д17
КД203В	10	800	(10)	(1,5)	5	Д17
КД210Б	10	800	(10)	(1,5)	5	Д13
КД203Г	10	1000	(10)	(1,5)	5	Д17
КД203Д	10	1000	(10)	(1,5)	5	Д17
КД210Г	10	1000	(10)	(1,5)	5	Д13
Мощные (на ток более 10 А)						
Д104-16	16	100	50,2	0,5	1,3	Д19
Д204-16	16	100	50,2	0,5	1,3	Д20
Д112-16-1..14	16	100...1400	50,2	0,4	2	Д21
ДЛ112-16-4..15	16	400...1500	50,2	0,4	2	Д21
КД2999В	20	100	(20)	(0,2)	100	Д18
КД2999Б	20	200	(20)	(0,2)	100	Д18
Д104-20	20	200	62,8	0,5	1,3	Д19
Д204-20	20	200	62,8	0,5	1,3	Д20
КД2999А	20	250	(20)	(0,2)	100	Д18
Д410-20	20	200	62,8	0,5	1,5	Д22
Д112-25-1..14	25	100...1400	78,5	0,4	2	Д21
ДЛ112-25-4..15	25	400...1500	78,5	0,4	2	Д21
КД2997В	30	100	(30)	(0,2)	100	Д18

Тип	$I_{пр.ср.}$ , А	$U_{обр. и. П}$ $U_{обр. max}$ , В	$I_{пр. и}$ ( $I_{пр}$ ; $I_{пр.ср.}$ ), А	$I_{обр. и}$ ( $I_{обр}$ ; $I_{обр.ср.}$ ), мА	$f_{max}$ ( $f_{max}$ ) - без снижения электрического режима, кГц	Корпус (рис. 1)
КД2997Б	30	200	(30)	(0,2)	100	Д18
КД2997А	30	250	(30)	(0,2)	100	Д18
Д122-32-1..14	32	100...1400	102	0,4	2	Д23
ДЛ122-32-4..15	32	400...1500	102	0,4	2	Д23

**ПРИЛОЖЕНИЕ Д – Условные графические обозначения электрических элементов (УГО)**

Наименование	Обозначение																		
1	2																		
1. Транзистор	 <table border="1" data-bbox="1181 537 1340 627"> <tr><td>D</td><td>12</td><td>14</td></tr> <tr><td>A</td><td>9</td><td>11</td></tr> </table> <table border="1" data-bbox="1133 694 1340 795"> <tr><td>D</td><td>10</td><td>12</td><td>15</td></tr> <tr><td>A</td><td>5</td><td>6</td><td>7</td></tr> <tr><td>B</td><td>7</td><td>8</td><td>9</td></tr> </table>	D	12	14	A	9	11	D	10	12	15	A	5	6	7	B	7	8	9
D	12	14																	
A	9	11																	
D	10	12	15																
A	5	6	7																
B	7	8	9																
2. Резистор																			
3. Конденсатор постоянной емкости Примечания: 1. выводы электролитических конденсаторов обозначаются «+» и «-» 2. выводы металлопленочных и металлобумажных конденсаторов обозначается 11-12...81-82																			
3. Элемент гальванический Общее обозначение																			
5. Батарея из гальванических или аккумуляторных элементов. Примечание. Батарею из гальванических или аккумуляторных элементов допускается обозначать как элемент гальванический. При этом над обозначением проставляется величина напряжения батареи, например, 24В.																			



6. Батарея с отводами							
7. Диод	 <table border="1" data-bbox="1209 383 1385 510"> <tr> <td>a</td> <td>5</td> <td>6</td> </tr> <tr> <td>b</td> <td>4</td> <td>5</td> </tr> </table>	a	5	6	b	4	5
a	5	6					
b	4	5					
8. Стабилитрон: односторонний							
двухсторонний							
9. Тиристоры							
10. Светодиоды							
11. Катушка индуктивности							

## ДОДАТОК Е – Стандартні значення напруги у джерелах живлення

Номінальні значення вихідної напруги живлення постійного струму
0,25; 0,4; 0,6; 1,2; 2,4; 3,0; 4,0; 5,0; 6,0 (6,3); 9,0(10); 12,0 (12,6); 15; 20; 24; 27; 30; 40; 48; 60; 80; 100 (125); 150; 200; 250(300); 400(500); 600; 800; 1000В...(максимальне значення 25кВ)

Практично у пристроях автоматики та телекомунікацій частіше за все використовується напруга: 5; 6; 9; 12; 15; 20; 27; 40 В.

Навчальне видання

Навчально-методичний посібник  
по розрахунку транзисторних підсилювальних каскадів  
у курсових та дипломних проектах  
для студентів спеціальності 7.091401  
«Системи управління та автоматика»

Автори:

Константинов С.В.,

Найдьонова Т.В.